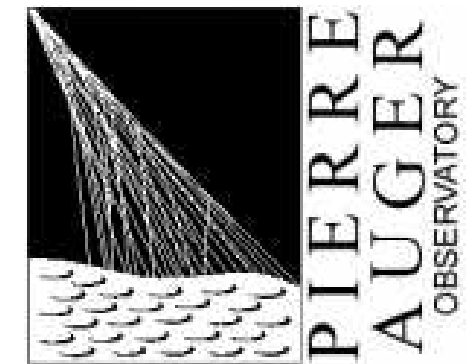


# Estudo de parâmetros em CAEs com inclusão de charm

Márcio Müller

*Grupo de Altas e Médias Energias*

*Universidade Federal de Pelotas - 2015*



# 1. Partículas Charmosas em CAEs

## 2. Distribuição Lateral de Partículas

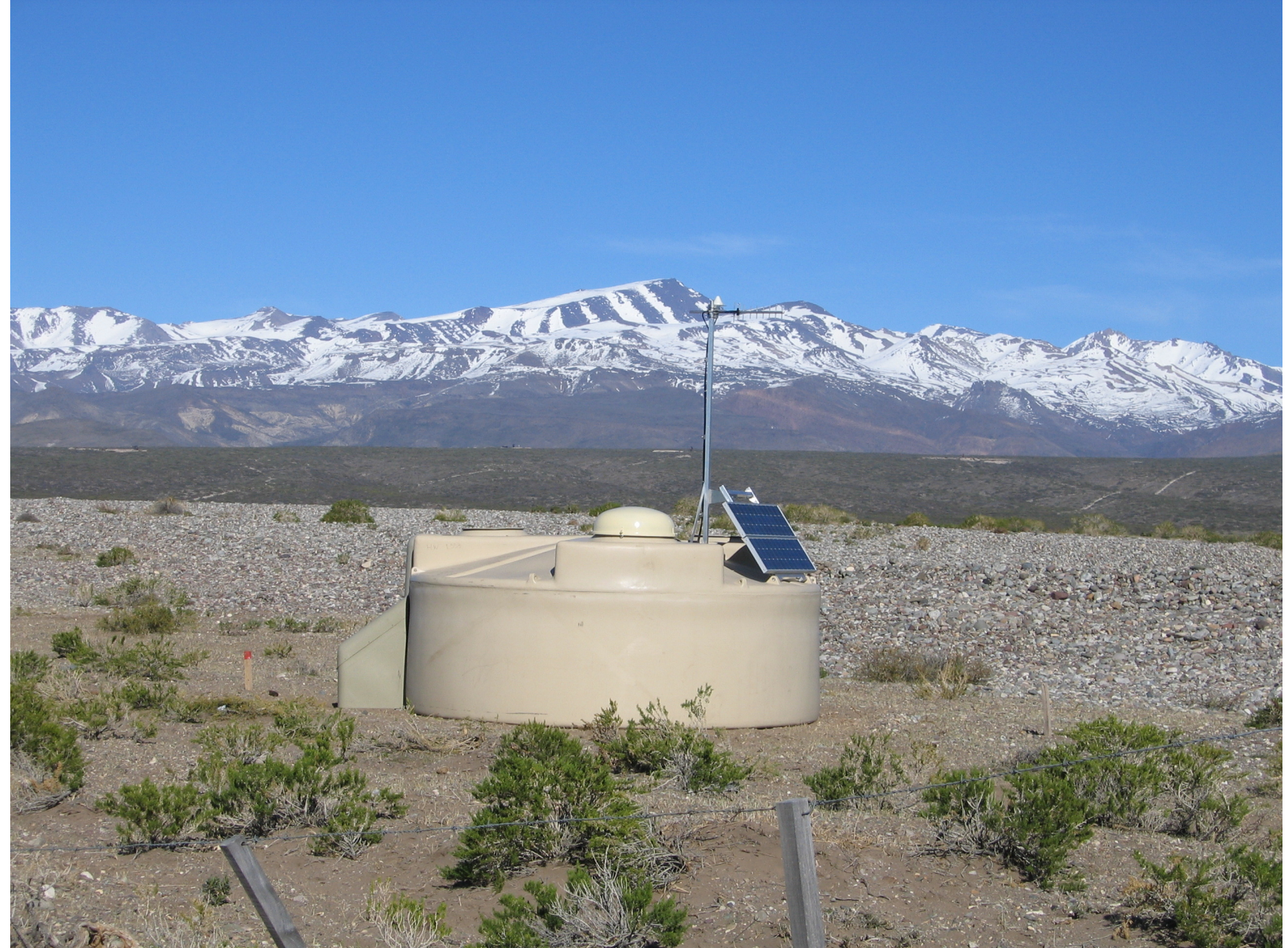
## 3. Reconstruções Offline

## 4. Energia e LDF.

## 5. Risetime

## 6. Conclusões

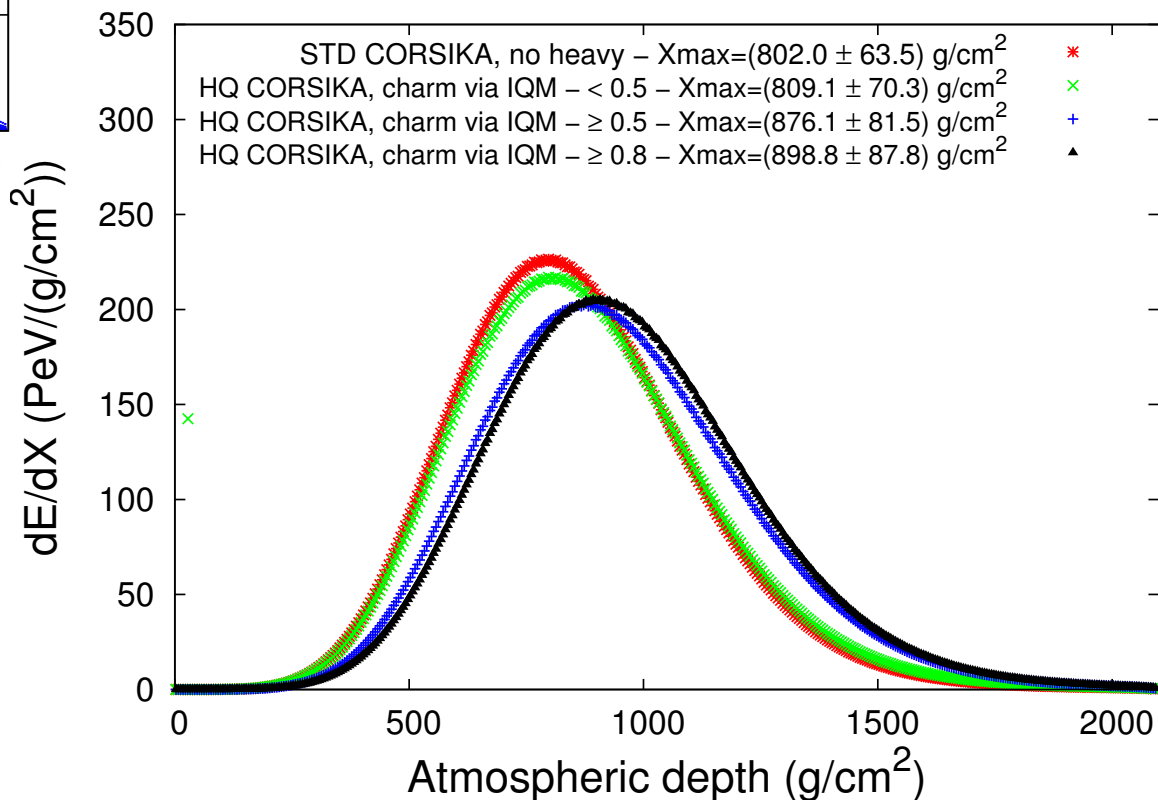
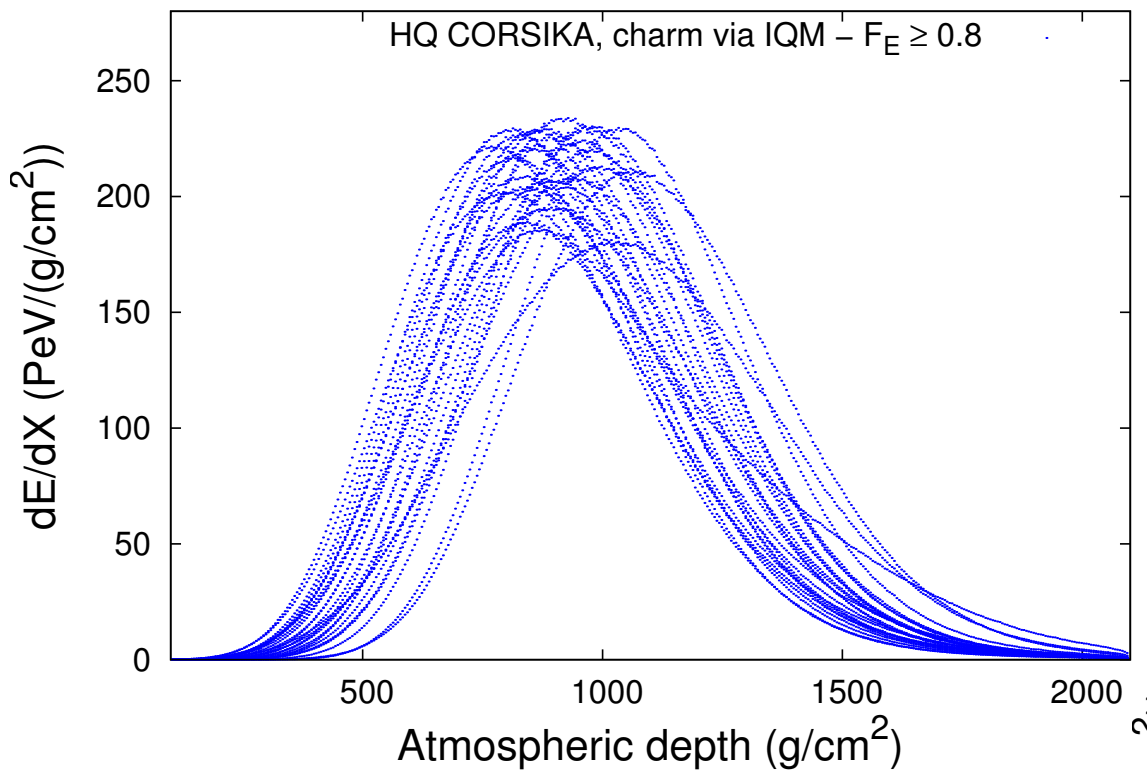
## 7. FD Shift



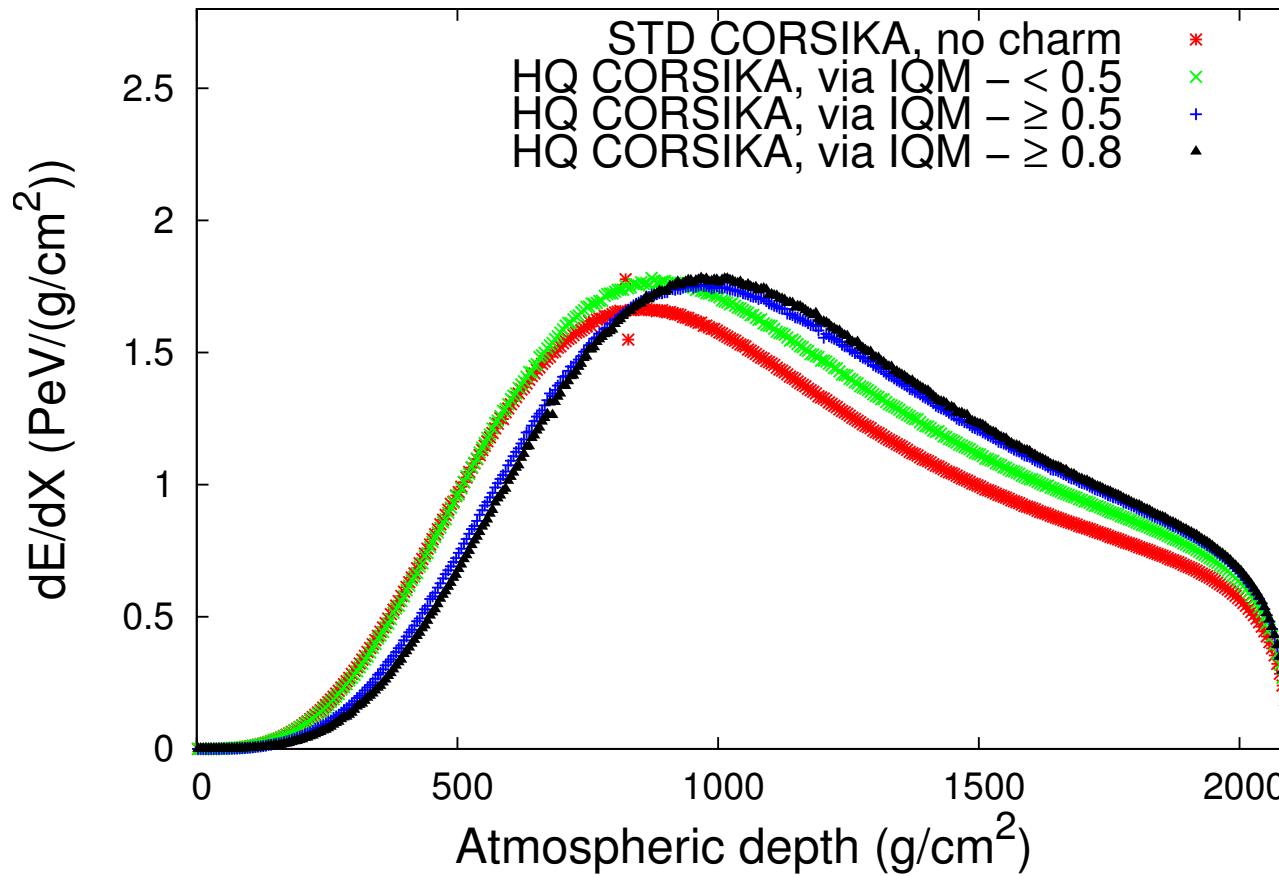
## I. PARTÍCULAS CHARMOSAS EM CAES

- Charm e bottom hádrons altamente energéticos podem ser produzidos na mais alta atmosfera quando um raio cósmico primário ou o “leading” hadron em um CAE colide com o ar.
- Por causa de sua vida média curta,  $\approx 10^{-12} \text{ s}$  ( $\approx 300 \mu\text{m}$ ), hádrons pesados decaem antes de interagirem.
- À  $E \gtrsim 10^7 \text{ GeV}$  hádrons pesados alcançam sua energia crítica e sua probabilidade de decaimento decai rapidamente. Comprimentos de decaimento crescem à valores consideráveis.
- $E \approx 10^8 \text{ GeV}$  -  $\lambda \approx 10 \text{ km}$ ,
- As colisões de hádrons pesados com núcleos do ar são bastante elásticas.  
- um méson  $D$  após uma colisão de  $10^9 \text{ GeV}$  poderia manter ao redor de 55% na energia inicial, enquanto que um méson  $B$  terá tipicamente 80% da energia incidente após a colisão.

- Tais partículas pesadas poderiam transportar uma significativa soma de energia em camadas atmoféricas profundas e provavelmente ter efeitos observáveis no desenvolvimento do chuveiro.



- A produção de múons e outras partículas poderiam mudar significativamente o perfil longitudinal visto nos Dectores de Fluorescência e/ou a distribuição temporal e sinal observado no Detector de Superfície.



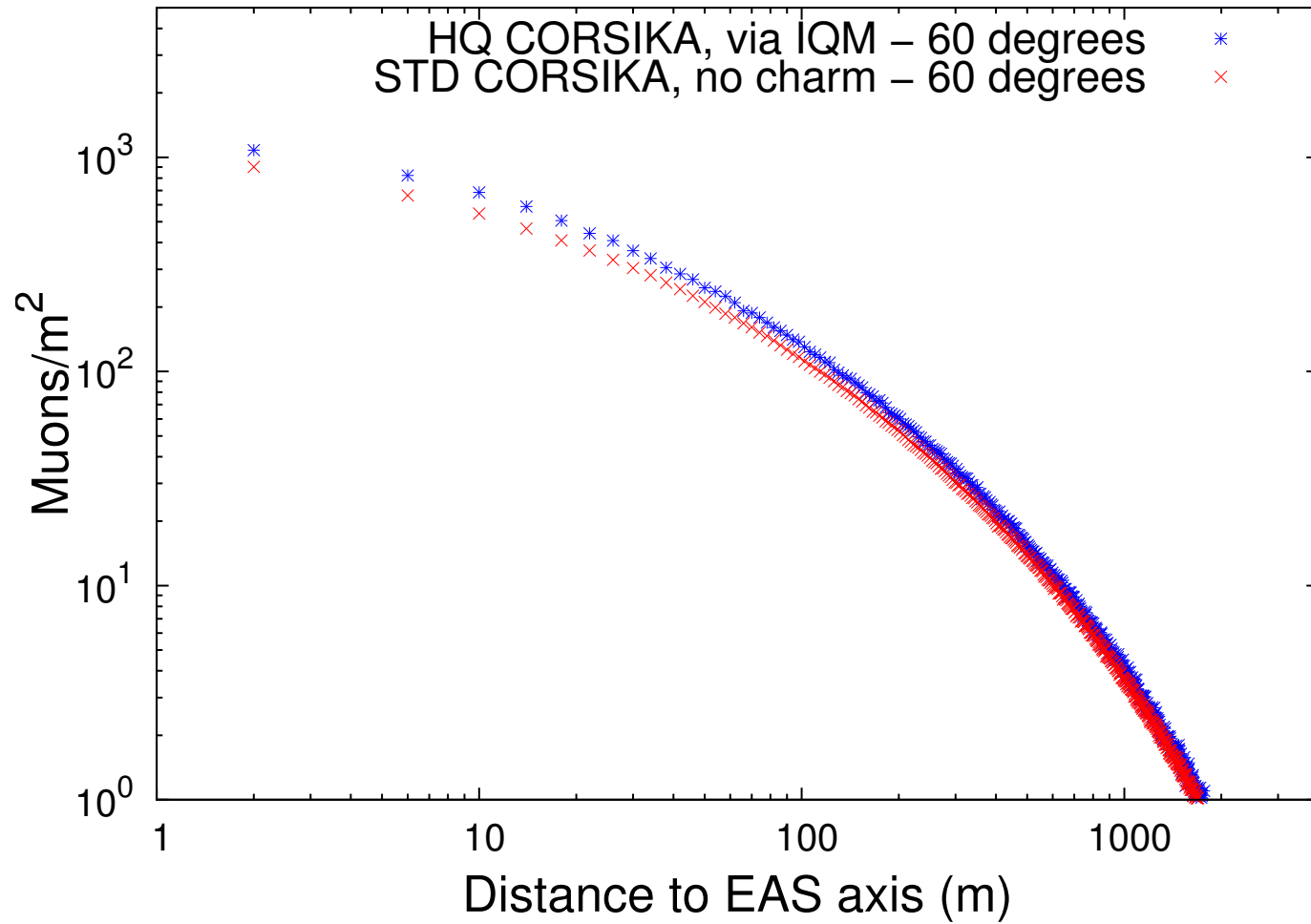
- Possíveis mudanças na distribuição temporal e no sinal visto pelos tanques Cherenkov e suas implicações na reconstrução de energia do raio cósmico primário serão discutidas neste trabalho.

## II. DISTRIBUIÇÃO LATERAL DE PARTÍCULAS

- A produção e propagação de charm em CAEs são processos aleatórios, com efeito que pode ou não pode acontecer dependendo das simulações de Monte Carlo.
- Para este trabalho nós iremos usar o aplicativo CORSIKA [2] (Cosmic Ray Simulations for Kaskade). Nós iremos utilizar um código modificado do CORSIKA, com inclusão de produção de charm e bottoms na primeira interação do raio cósmico primário [3] and [4].
- Iremos considerar apenas a hadronização de charms via Intrinsic Quark Model (IQM).

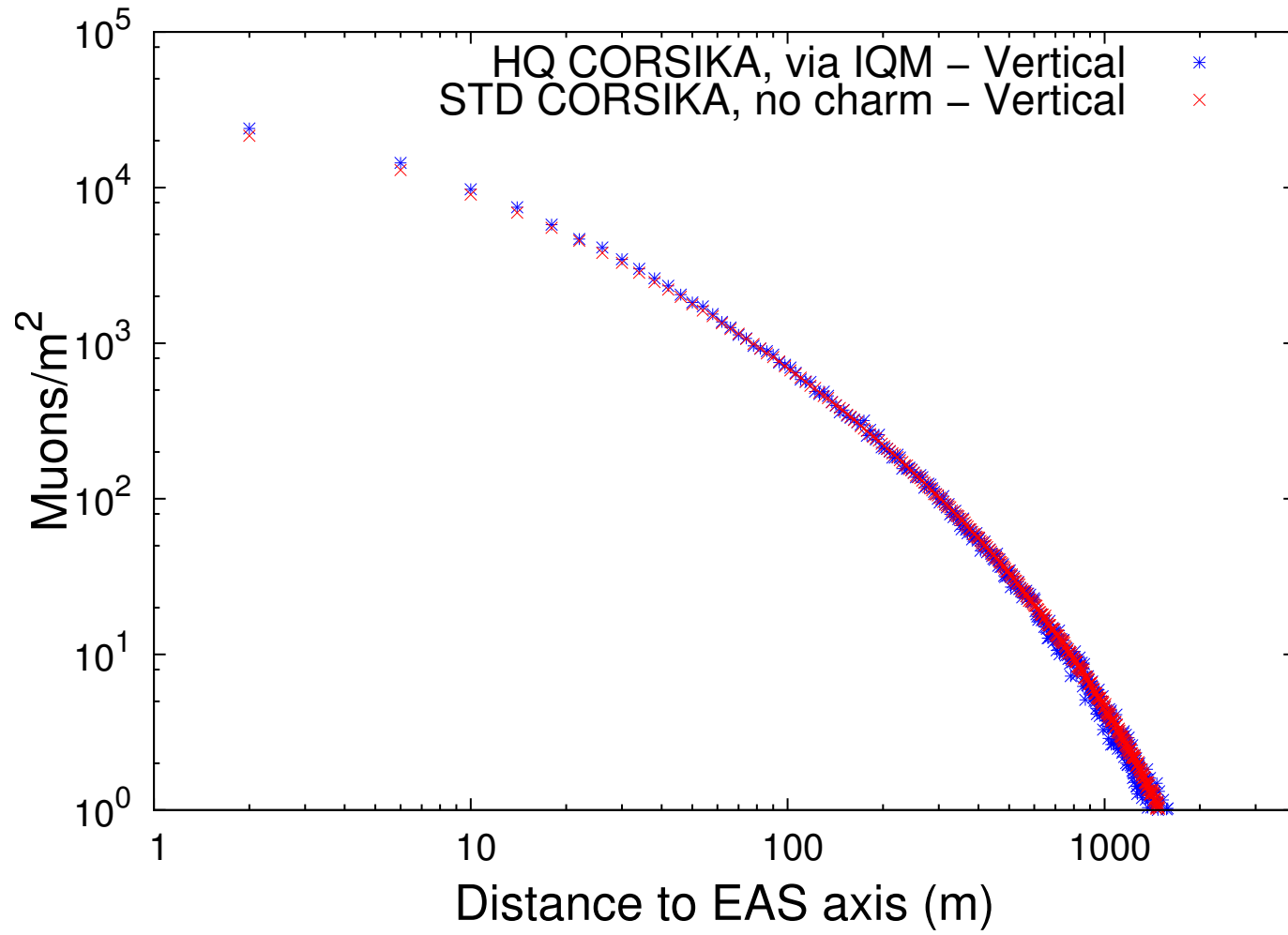
- Nesta seção iremos investigar como estes processos aleatórios podem modificar a Distribuição Lateral da Componente Muônica no chão.
- Iremos comparar os nossos resultados com chuveiros simulados pelo código padrão do CORSIKA - sem produção de charm.
- Usaremos chuveiros com  $3 \times 10^{19} \text{ eV}$  de energia primária, partícula primária próton - ângulo zenitais verticais e  $\theta = 60^\circ$ .

#### A. Resultados



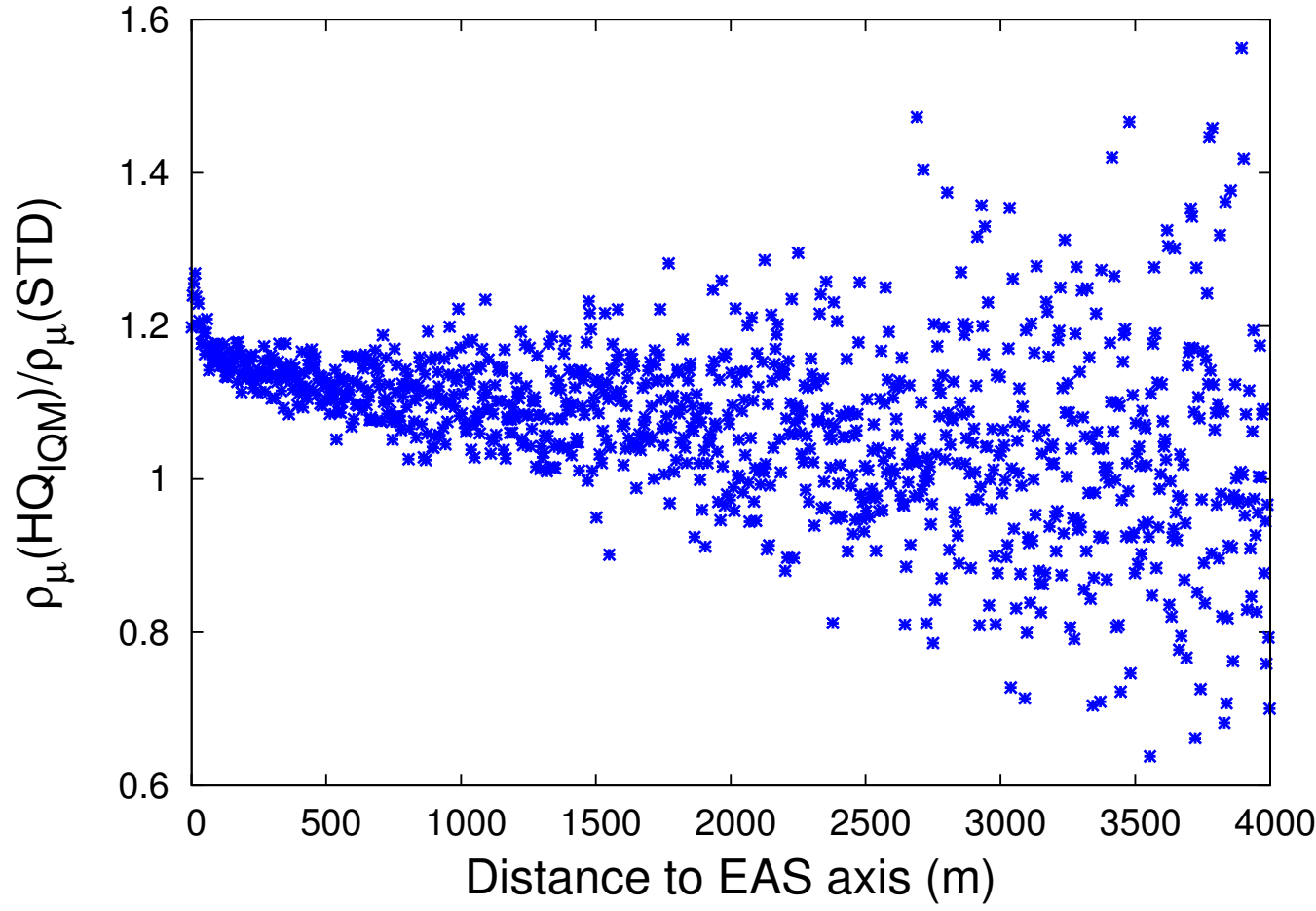
20 a 30%

Comparação CORSIKA  
Heavy via IQM  $\times$   
CORSIKA STD.  $60^\circ$ .  
Média de  $\approx 100$  chuveiros.

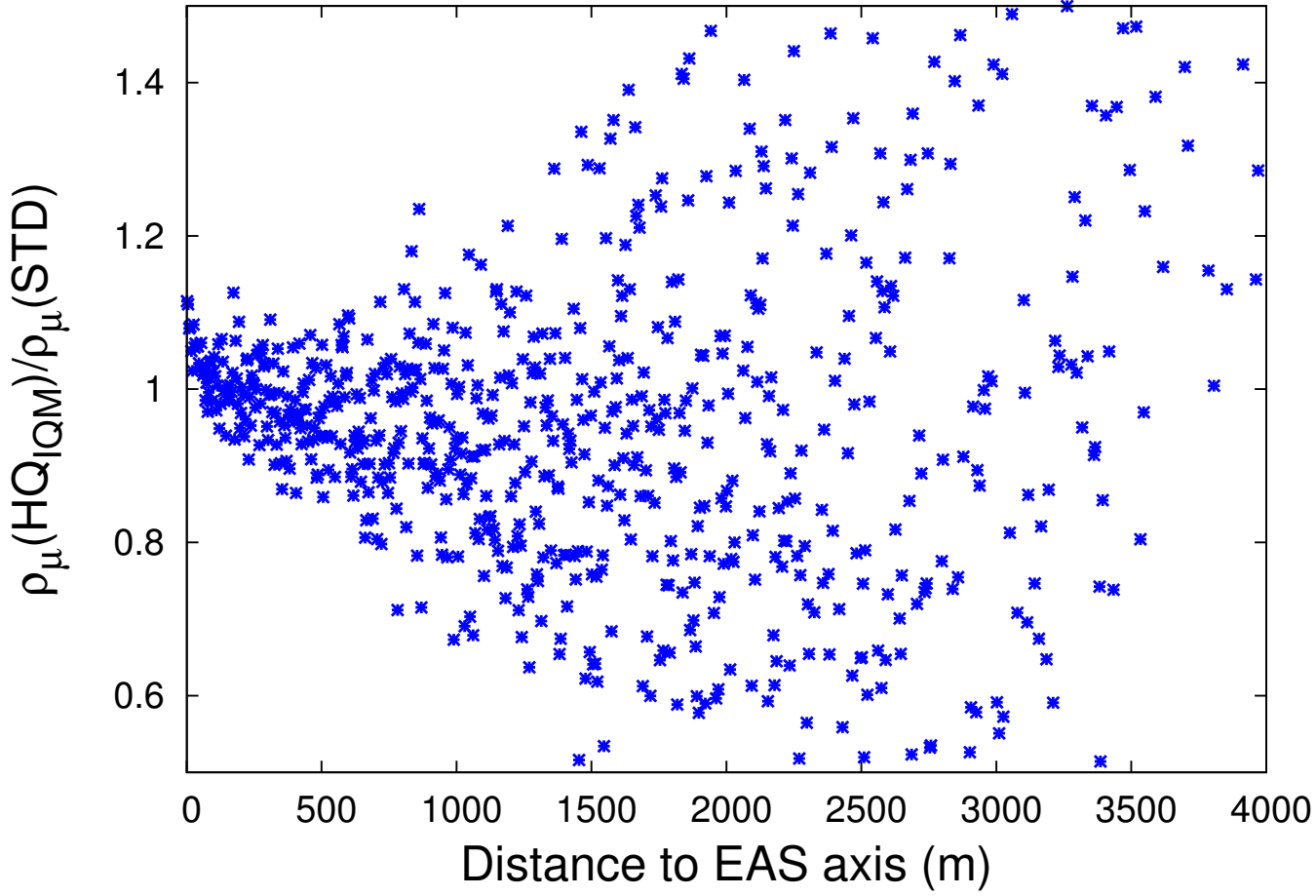


Comparação CORSIKA  
Heavy via IQM  $\times$   
CORSIKA STD. Vertical.  
Média de  $\approx 100$  chuveiros.

$\approx 10\%$



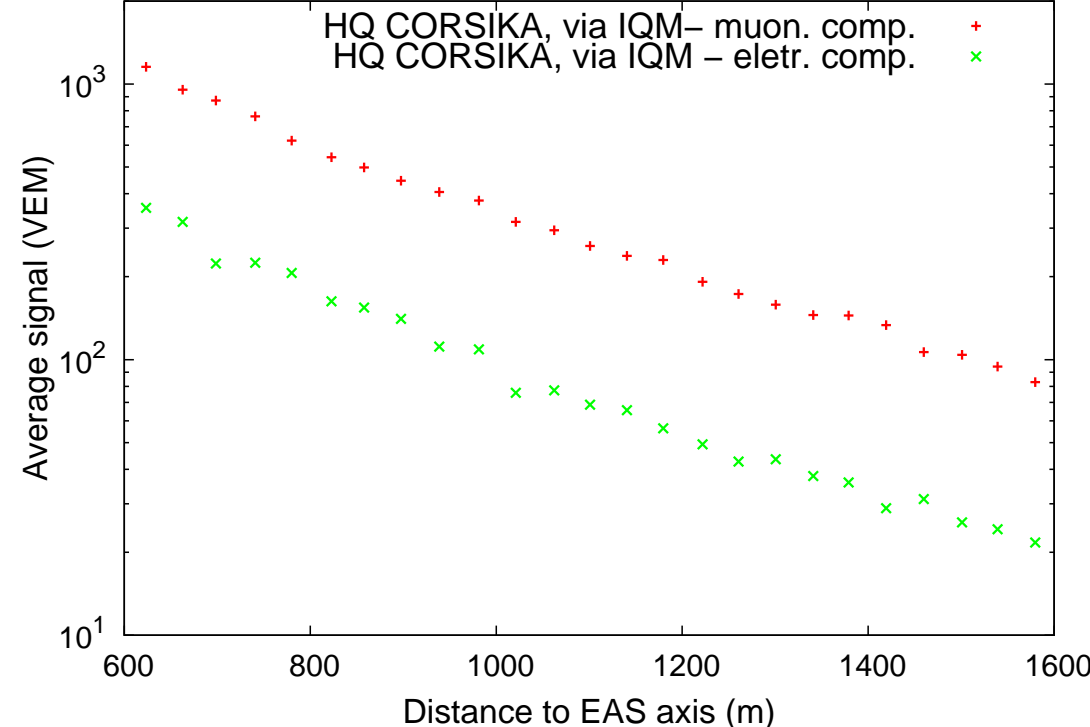
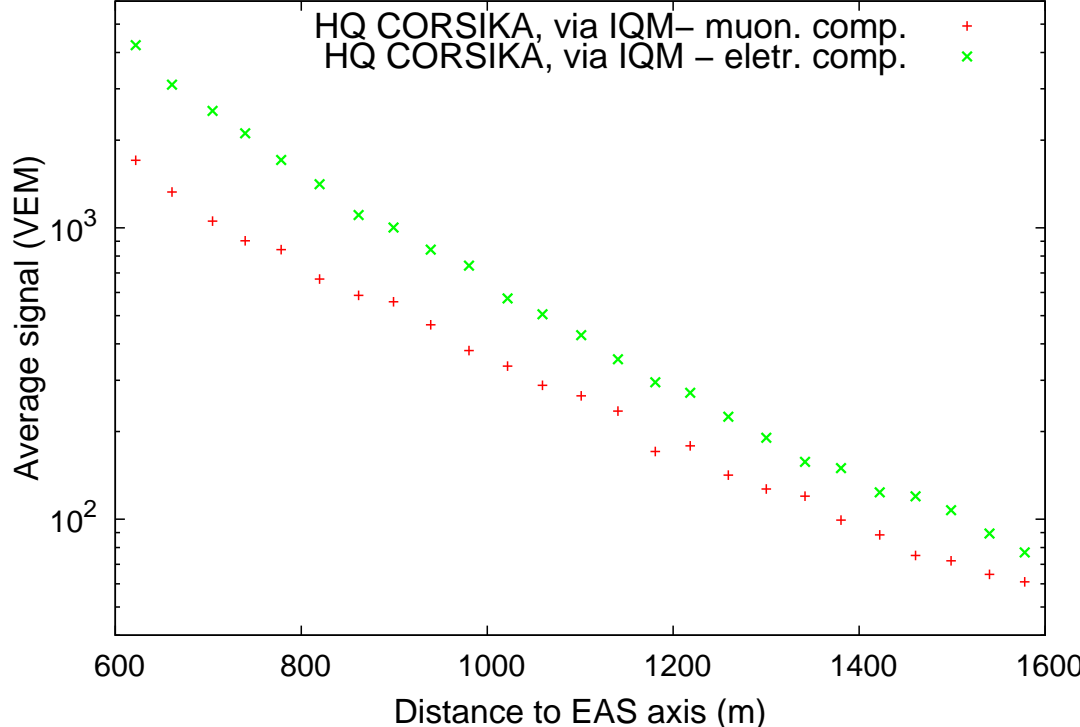
Razão da distribuição lateral  
de densidade de número de múons.  
Razão CORSIKA STD  $\times$  CORSIKA  
via IQM.  $60^\circ$ . Média de  $\approx 100$  chuveiros.



Razão da distribuição lateral  
de densidade de número de múons.  
Razão CORSIKA STD  $\times$  CORSIKA  
via IQM. Vertical. Média de  
 $\approx 100$  chuveiros.

### III. RECONSTRUÇÕES OFFLINE

- A resposta dos tanques Cherenkov será simulada pelo aplicativo Offline, escrito pela Colaboração Pierre Auger.
- A natureza espaçada do detector, a resposta das partículas que o atravessam, e o sistema eletrônico serão simulados.
- Em chuveiros muito inclinados teremos que quase a totalidade do sinal dos tanques será formado por múons, já que a componente eletromagnética é amplamente absorvida.



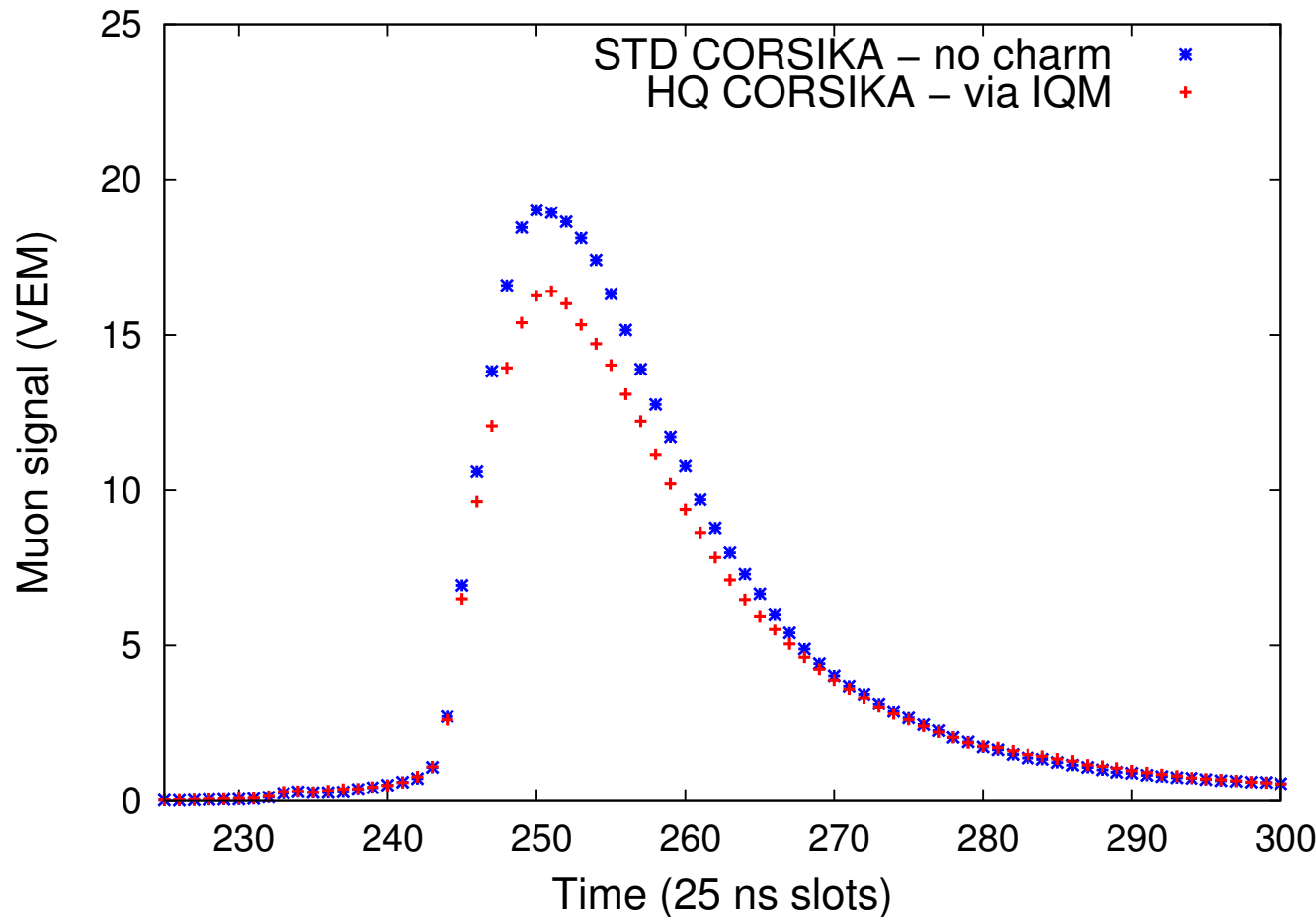
- Chuveiros com diferentes estágios de desenvolvimento.
- A estrutura temporal do sinal do FADC tem **768 bins temporais com  $25\text{ ns}$**  cada - janela temporal.
- Serão usados **50** chuveiros,  $3 \times 10^{19} \text{ eV}$ , primário próton, diferentes ângulos zenitais
- **200** eventos reconstruídos pelo Offline.
- Comparação de chuveiros usando nosso código CORSIKA modificado (produção de charm via IQM), e standard (STD) CORSIKA, sem produção de charm.
- Estrutura temporal do sinal, sinal total, Função Distribuição Lateral e Energia reconstruída serão analisadas na seção seguinte.
- Não há corte de qualidade usado para a seleção dos eventos.

- O nível de Malargüe está a  $890\text{ g/cm}^2$  de profundidade atmoférica ( $1400\text{ m}$ ).
- Este é grosseiramente o valor do  $X_{max}$  para chuveiros verticais.
- A seguir, temos respectivamente os resultados para chuveiros verticais,  $60^\circ$  de ângulo zenital e  $60^\circ$  selecionados para chuveiros com  $F_E \geq 0.8$ .

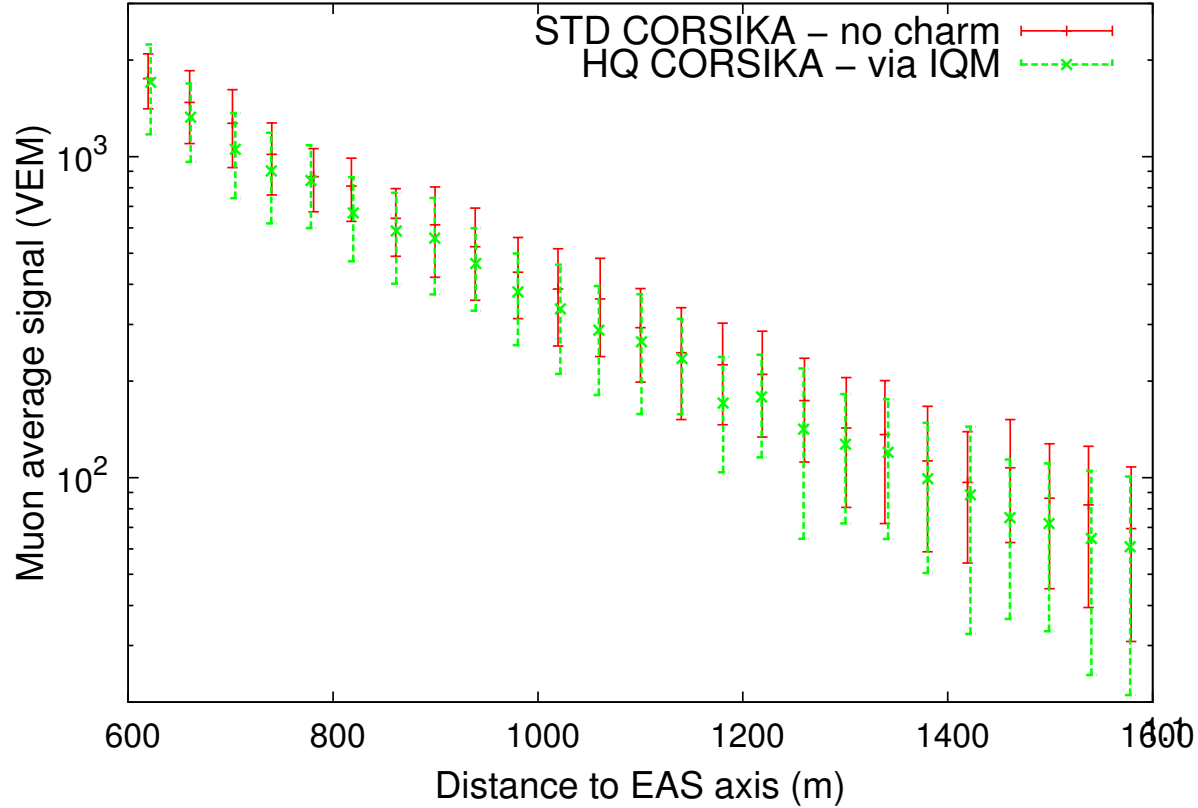
## IV. ENERGIA E LDF

### 1. Chuveiro Vertical

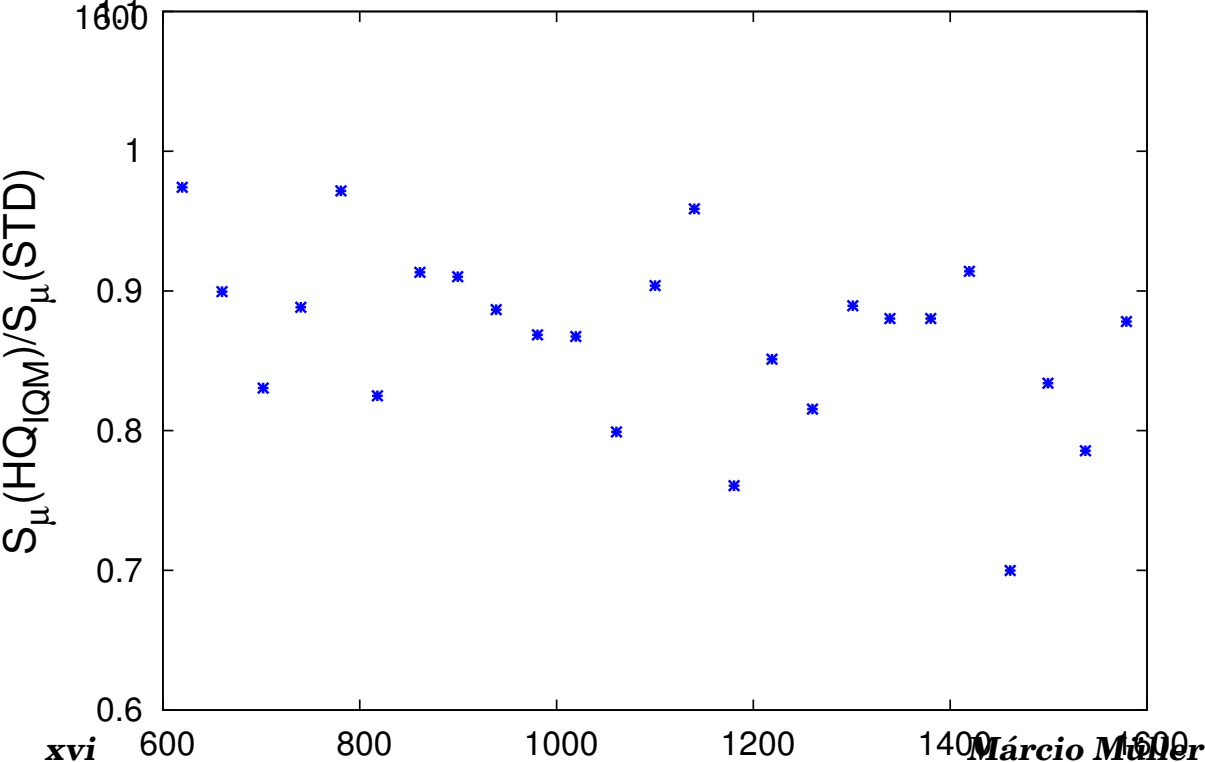
- Sinal muônico médio dos slots. 2000 estações “triggeradas”. CORSIKA IQM × CORSIKA STD.



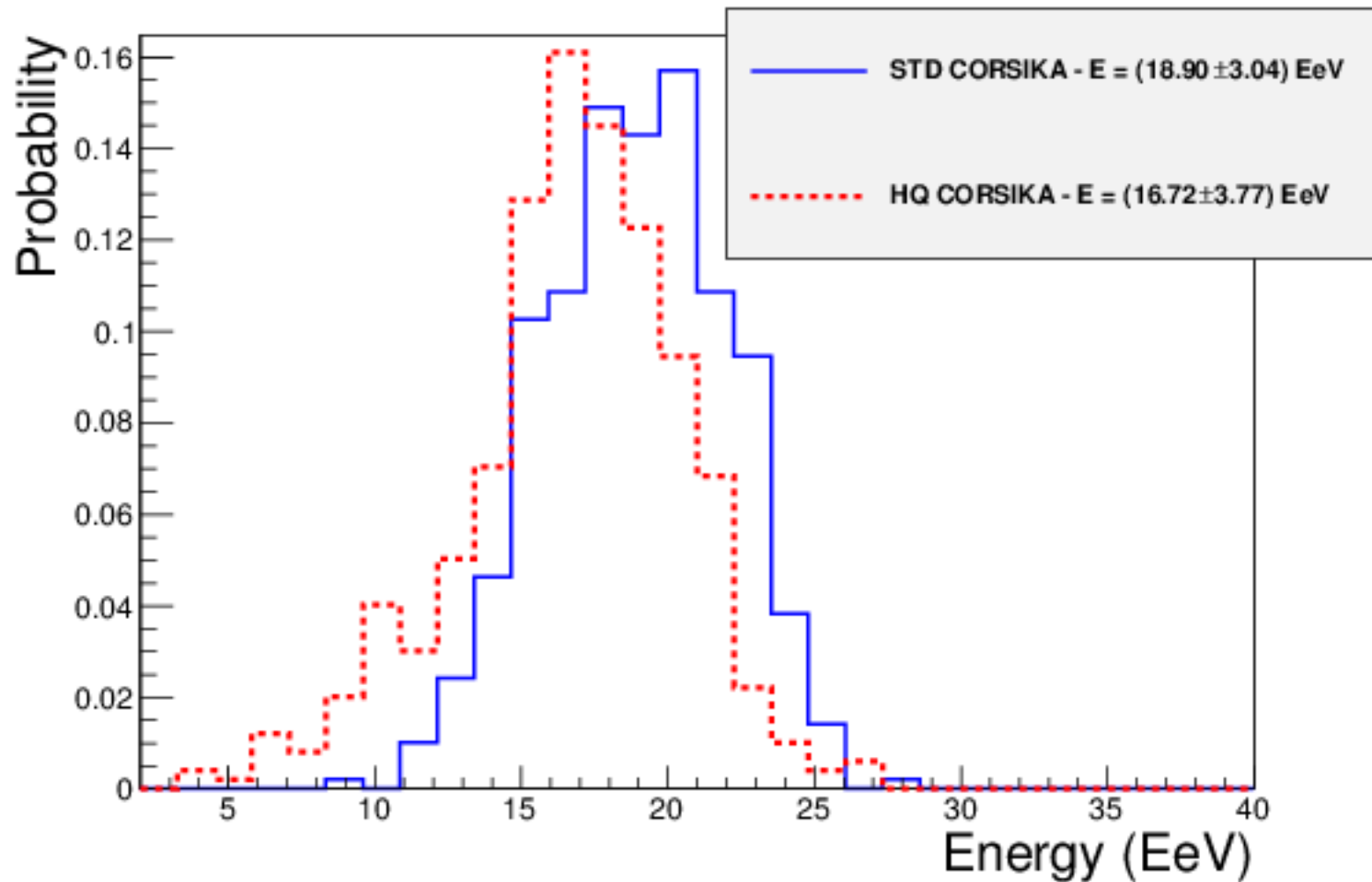
- Sinal médio de múons e razão entre o sinal de múons para CORSIKA via IQM e CORSIKA padrão.



Menor valor de  
sinal para CORSIKA  
via IQM.



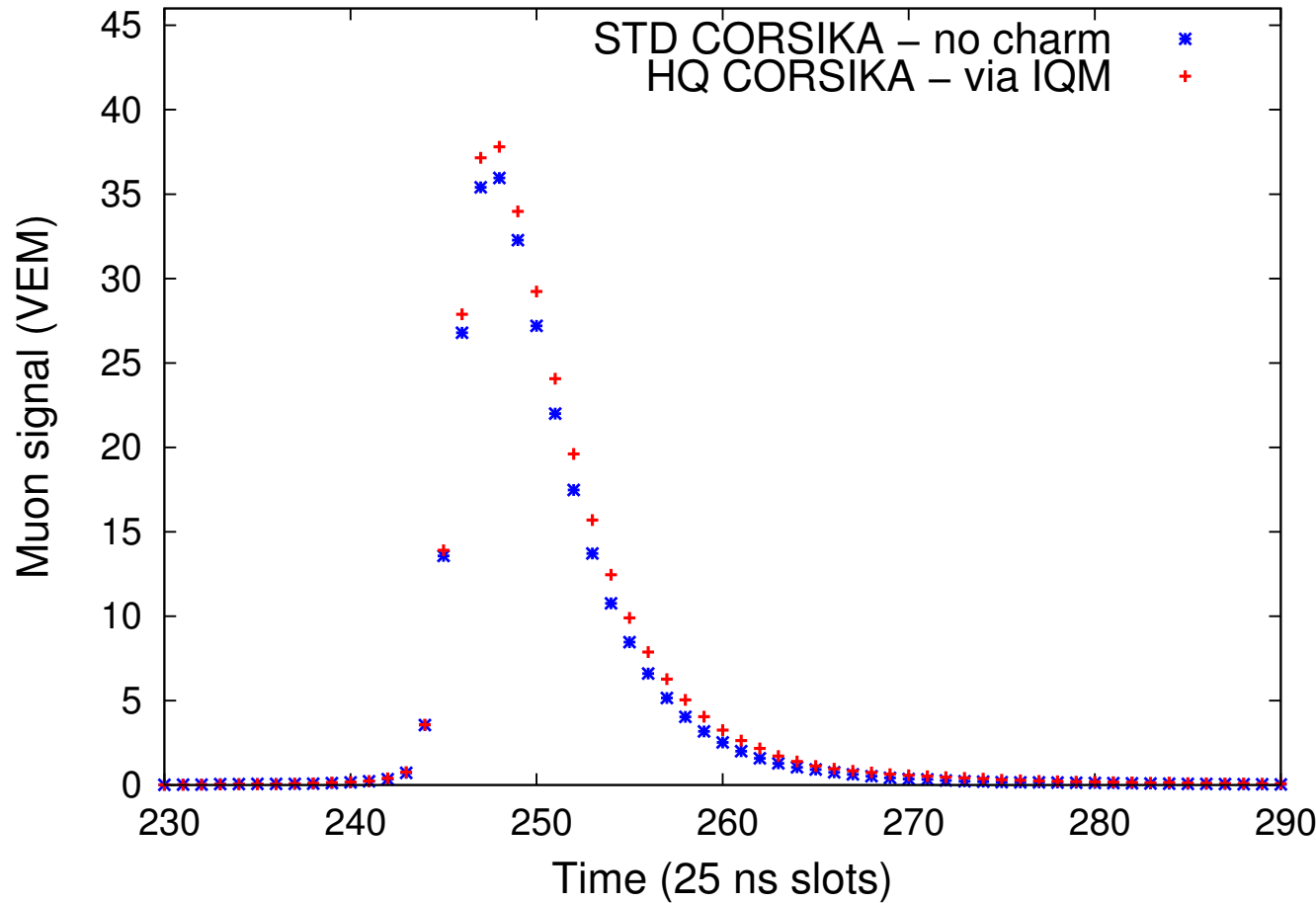
- Distribuição de energias reconstruídas. 200 eventos reconstruídos. CORSIKA IQM  $\times$  CORSIKA STD.



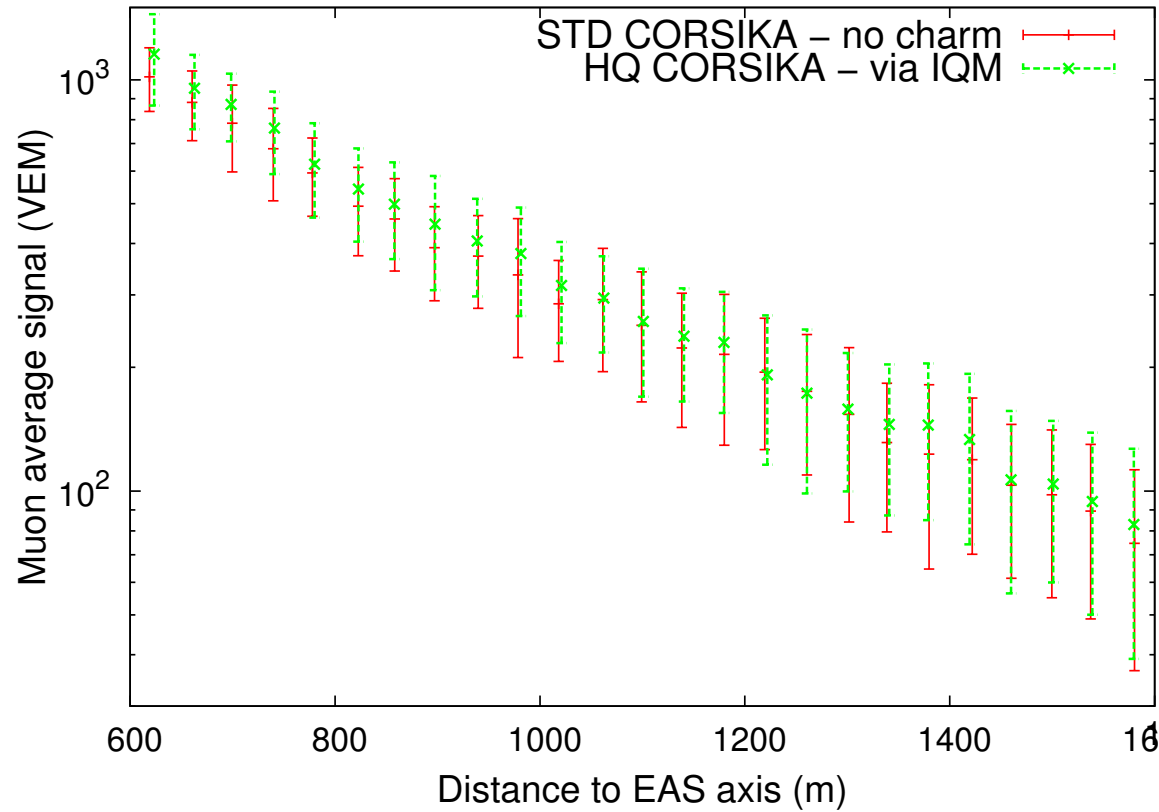
Menor energia reconstruída -  $\approx 10\%$

## 2. Ângulo zenital de 60 graus

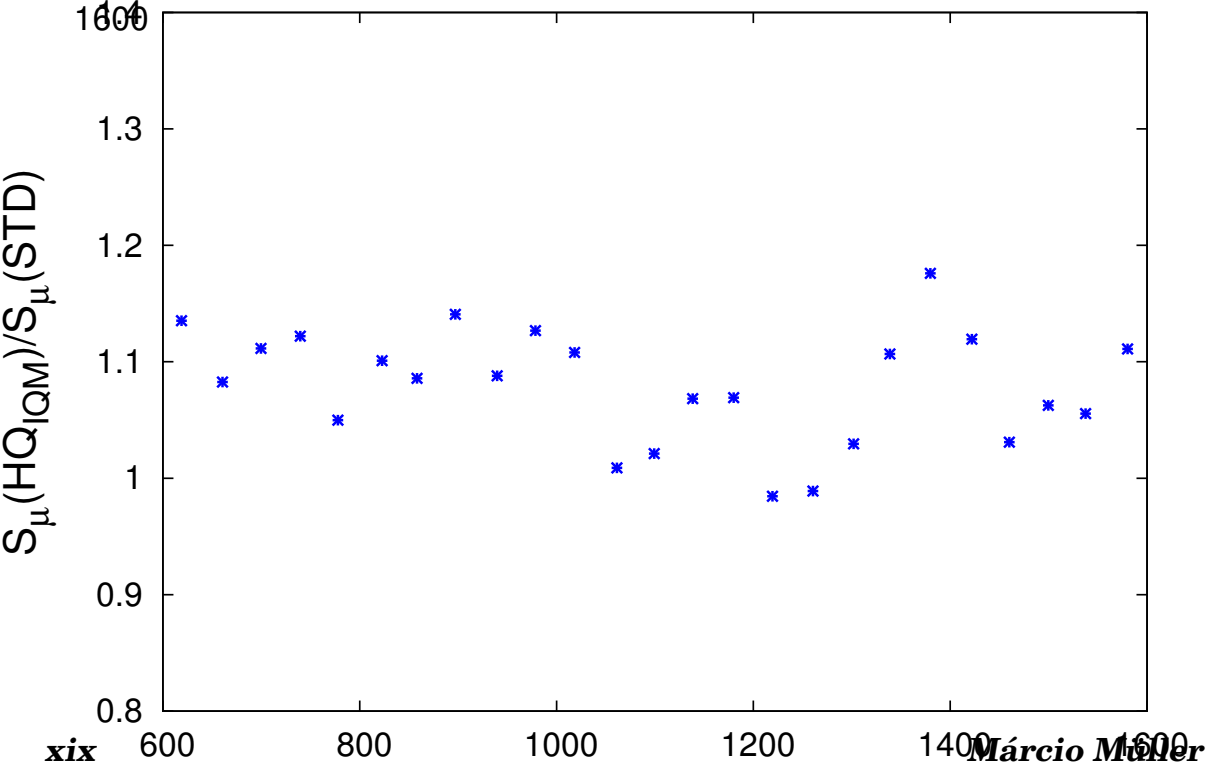
- Sinal muônico médio dos slots. 2000 estações “triggeradas”. CORSIKA IQM × CORSIKA STD.



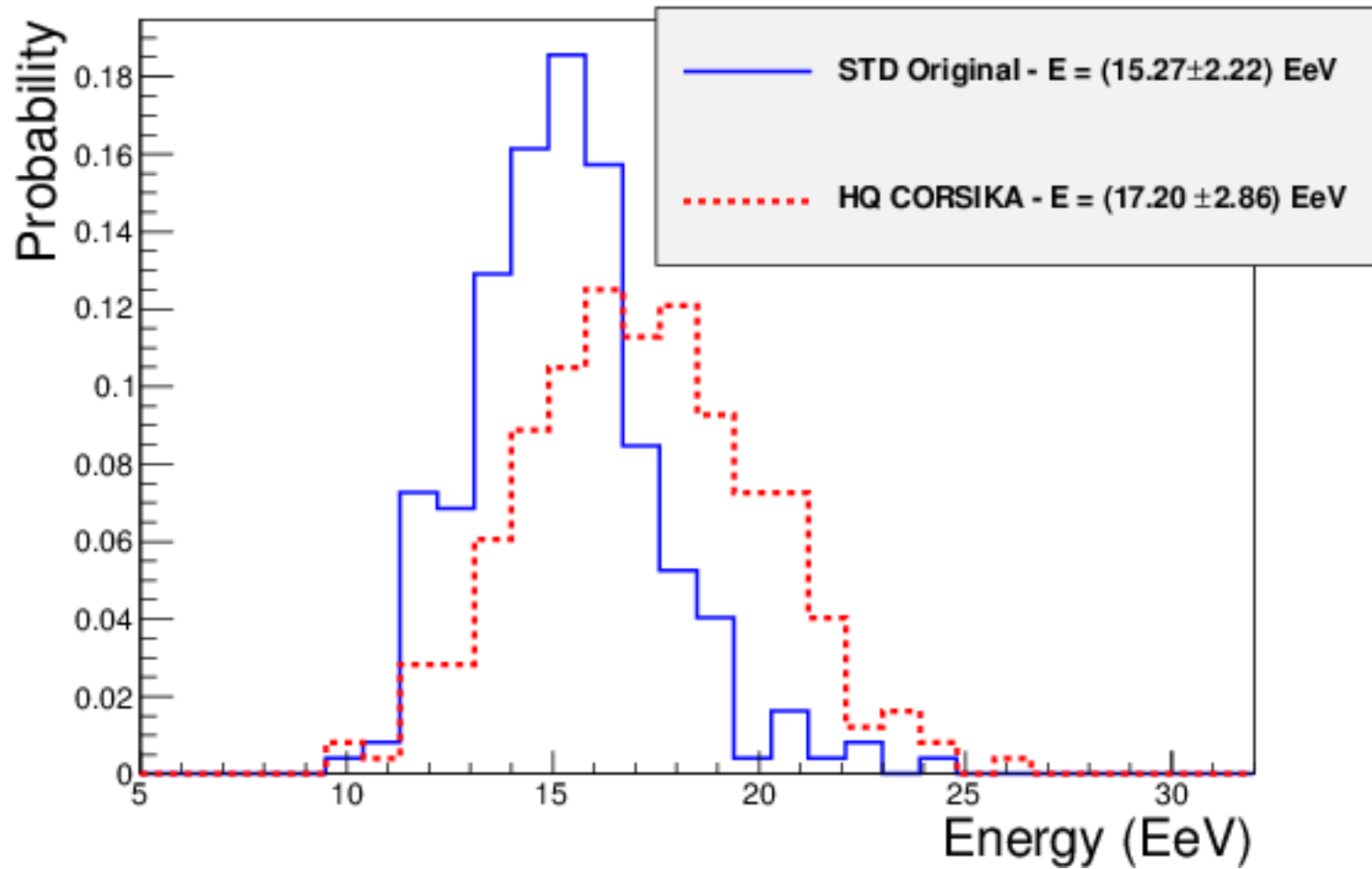
- Sinal médio de múons e razão entre o sinal de múons para CORSIKA via IQM e CORSIKA padrão.



Valor de sinal maior  
para CORSIKA IQM  
-  $\approx 15\%$ .



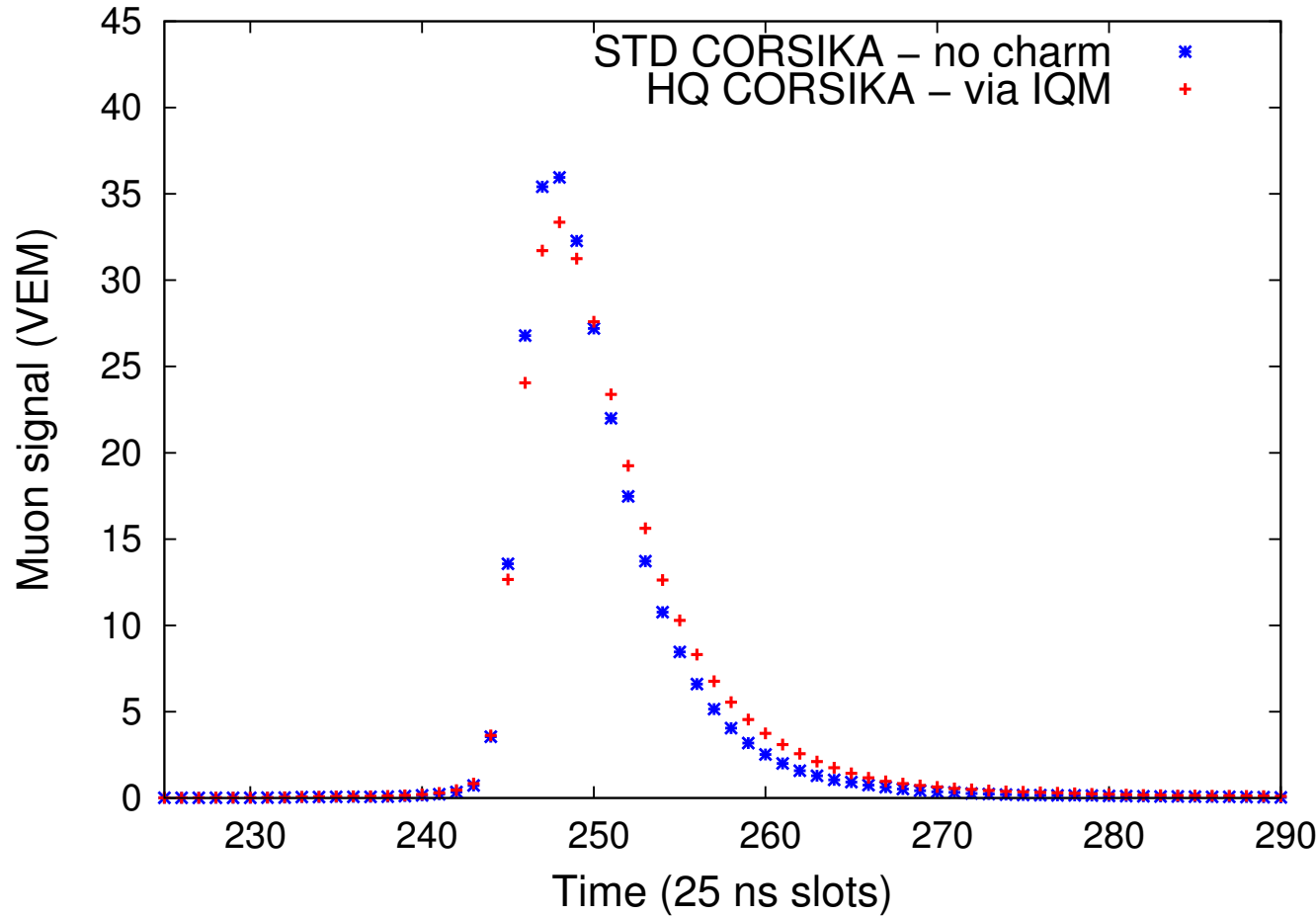
- Distribuição de energias reconstruídas. 200 eventos reconstruídos. CORSIKA IQM  $\times$  CORSIKA STD.



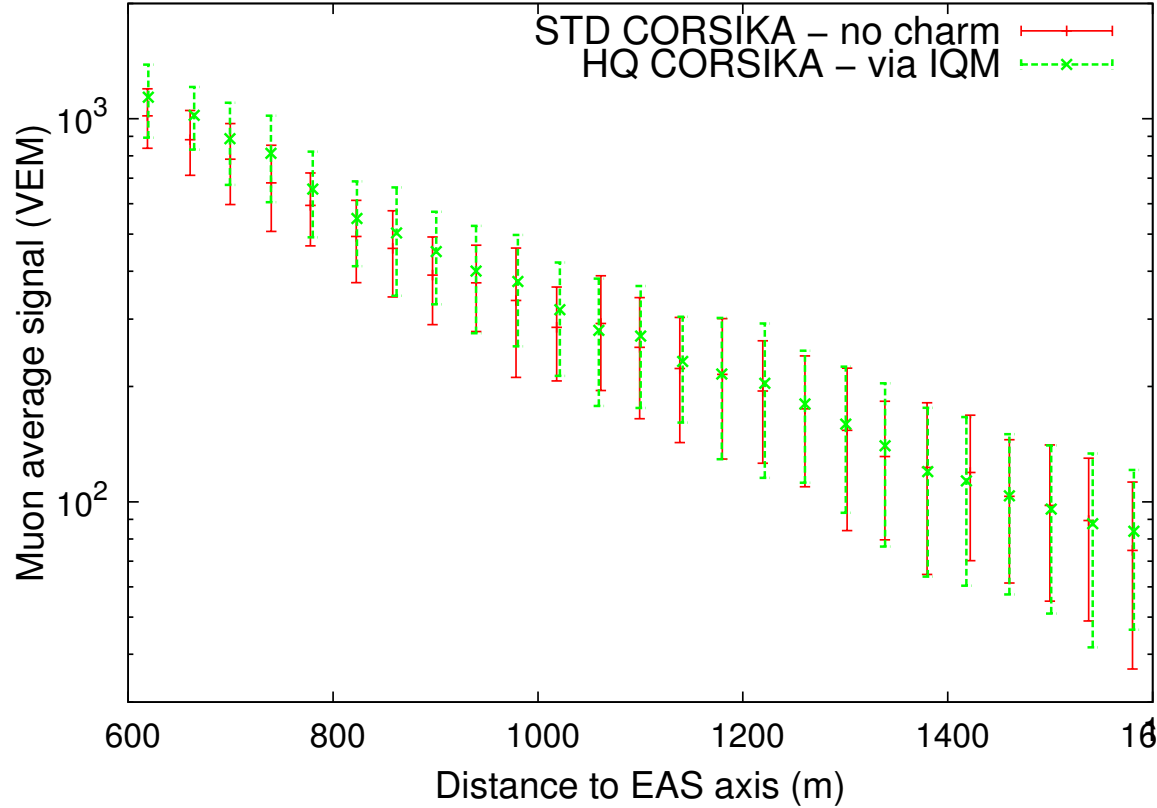
Maior energia reconstruída -  $\approx 10\%$

3. 60 graus - Chuveiros separados para  $F_E \geq 0.8$ 

- Sinal muônico médio dos slots. 2000 estações “triggeradas”. CORSIKA IQM × CORSIKA STD.

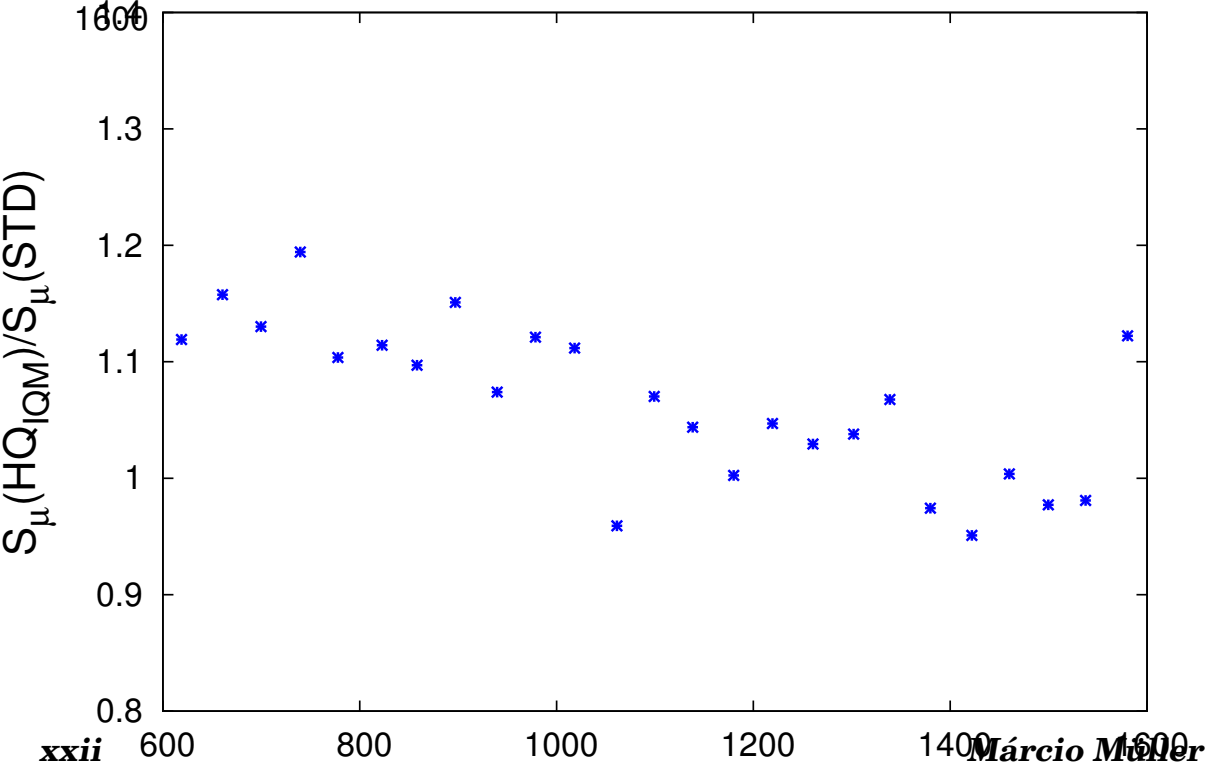


- Sinal médio de múons e razão entre o sinal de múons para CORSIKA via IQM e CORSIKA padrão.

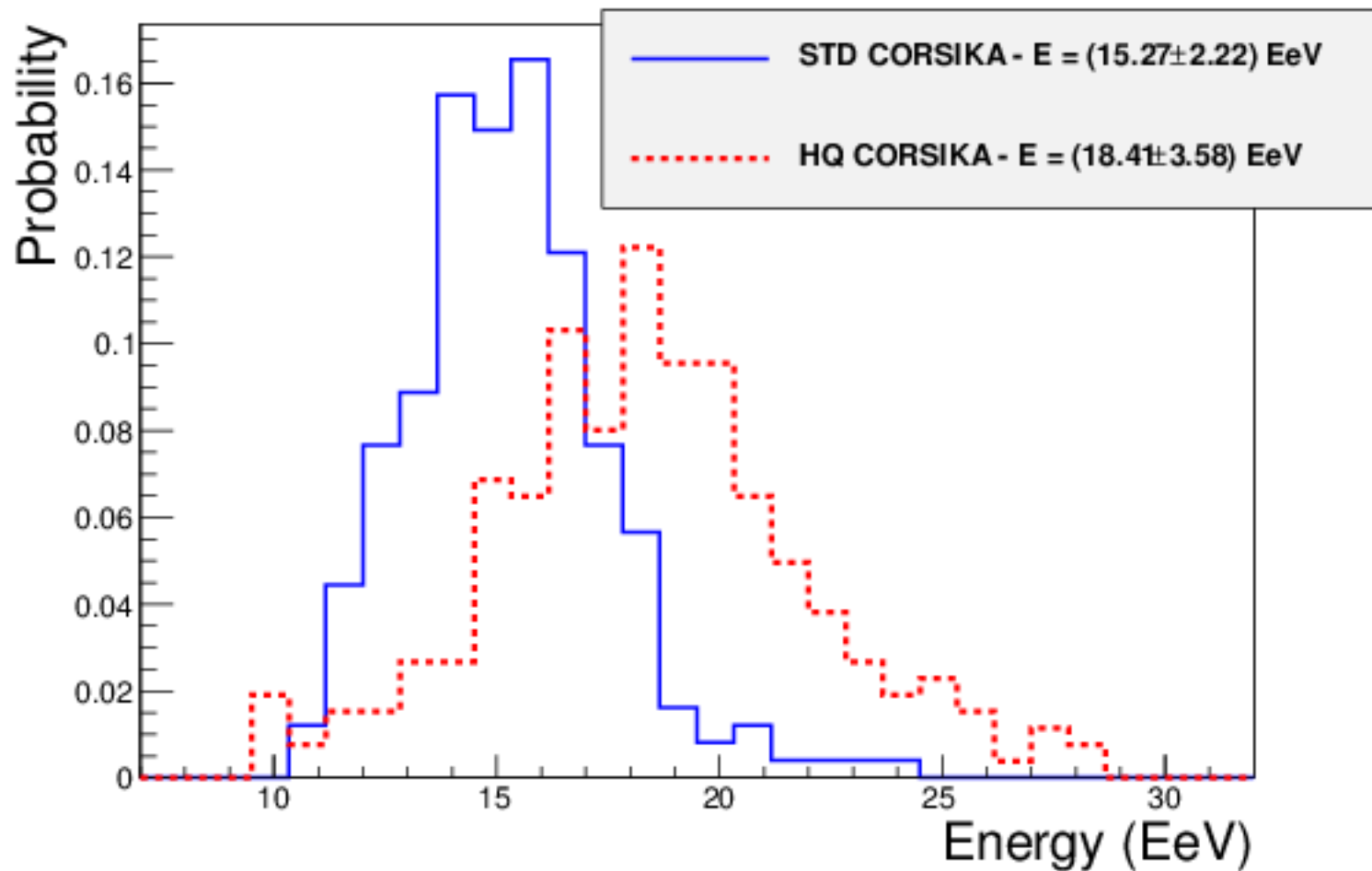


Valor de sinal maior  
para CORSIKA IQM

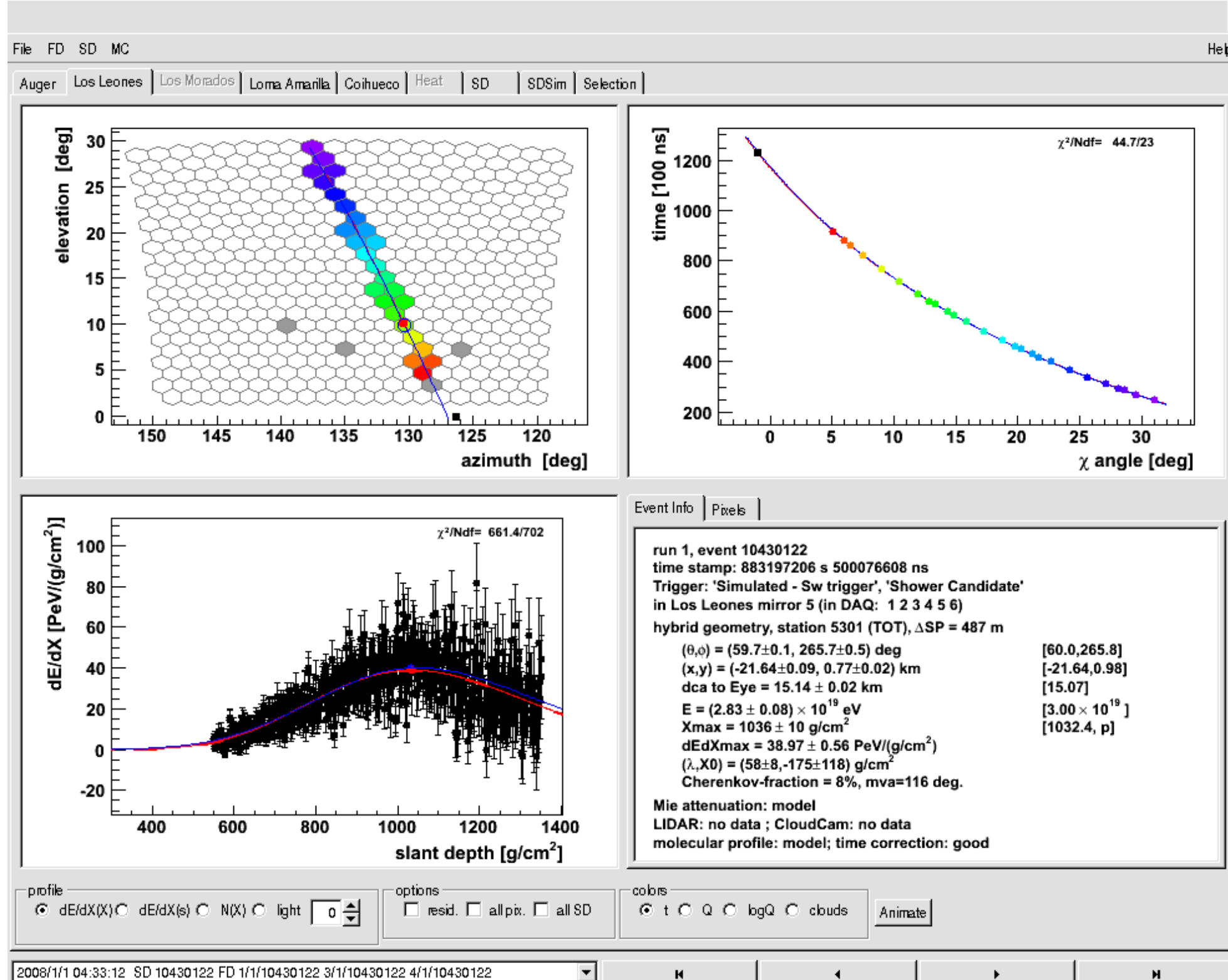
-  $\approx 20\%$ .

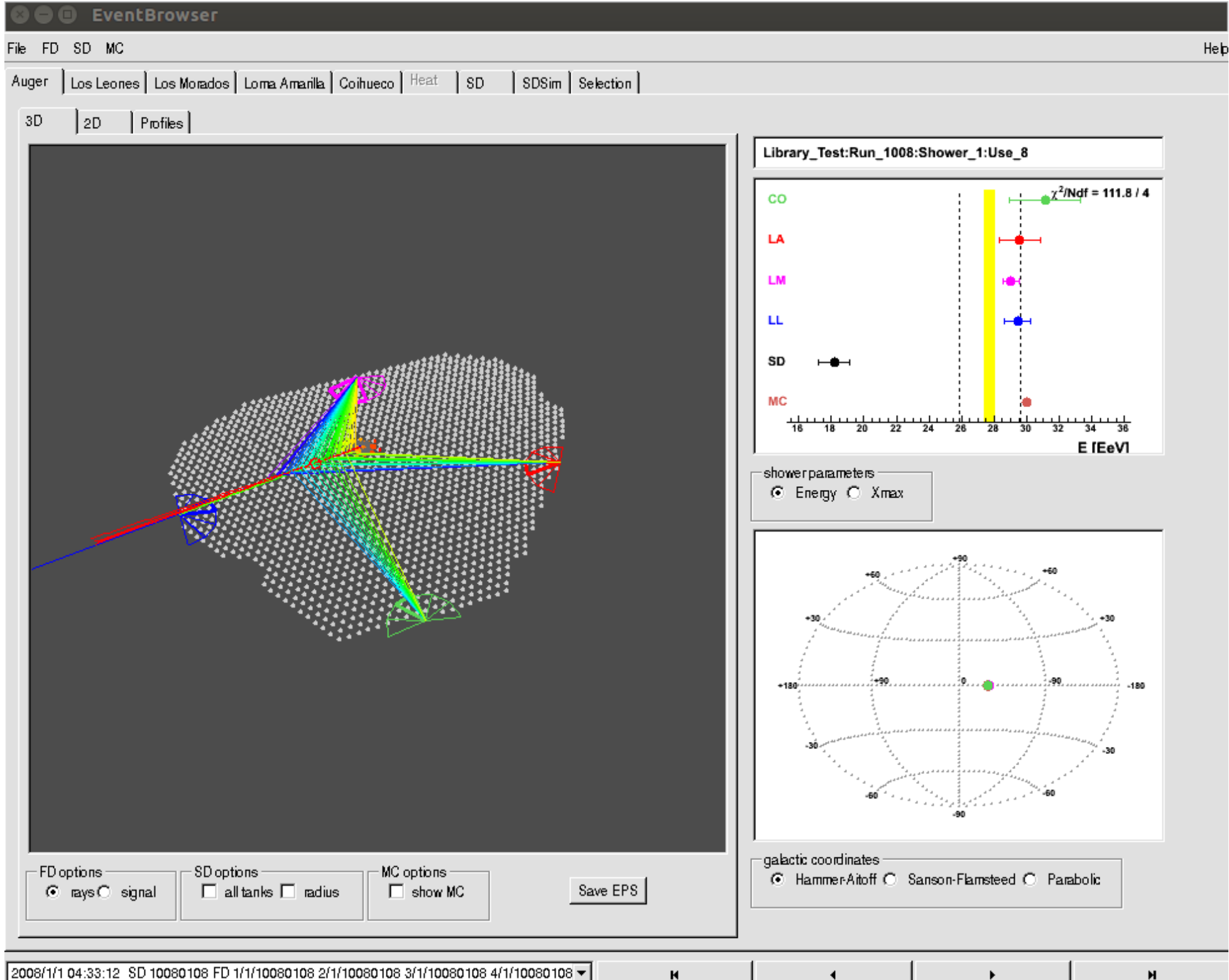


- Distribuição de energias reconstruídas. 200 eventos reconstruídos. CORSIKA IQM  $\times$  CORSIKA STD.



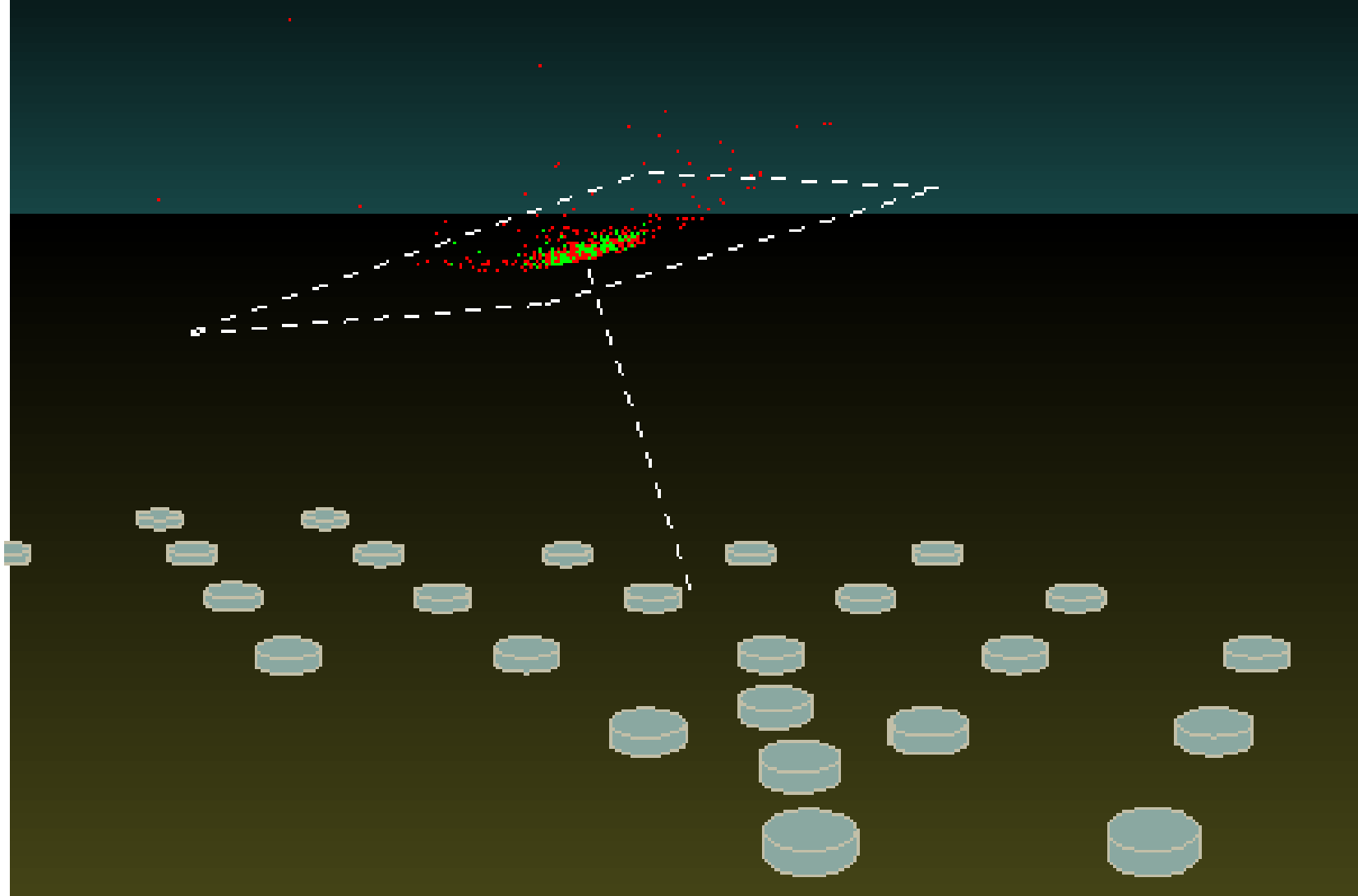
Maior energia reconstruída -  $\approx 12\%$



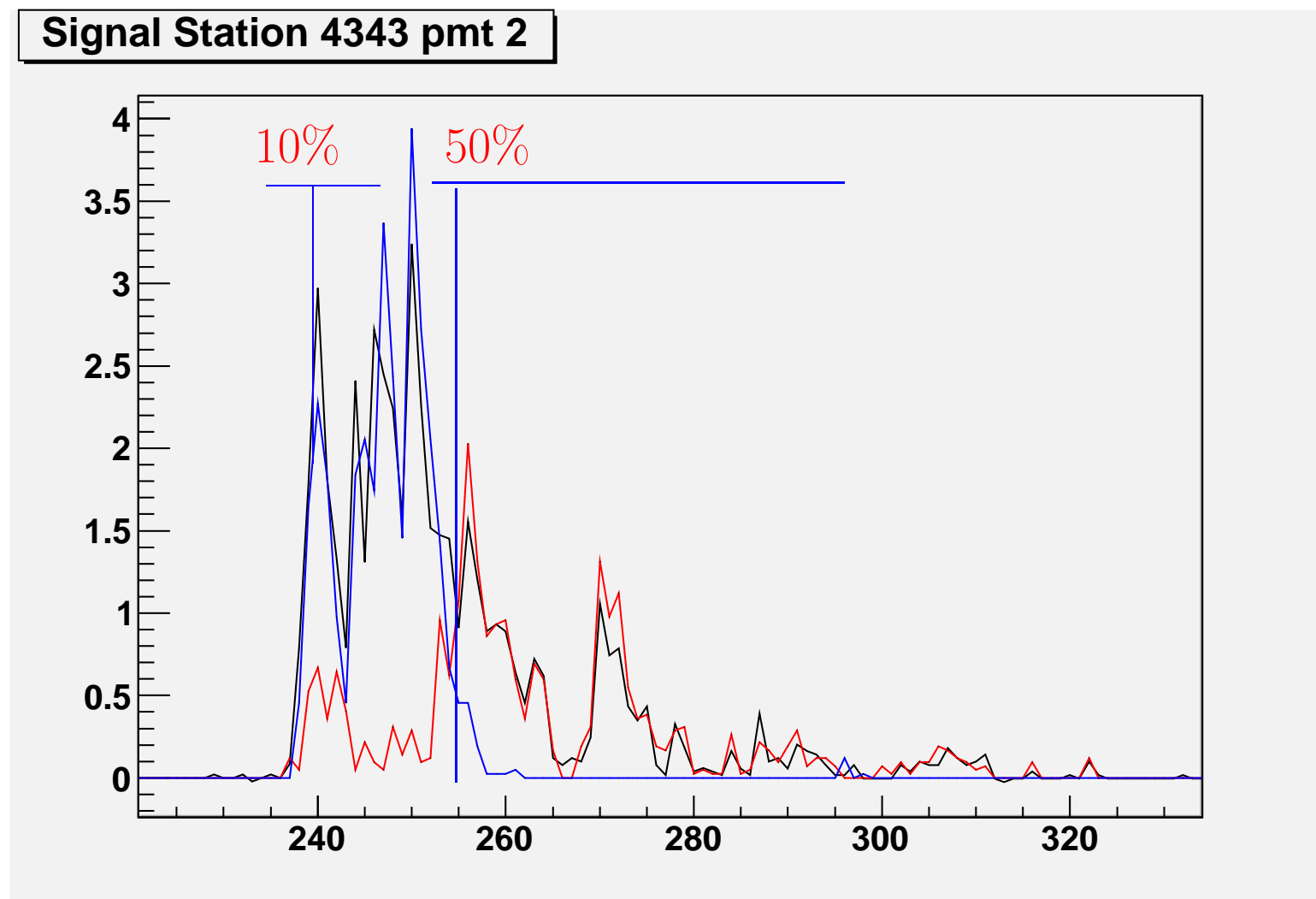


## V. RISETIME

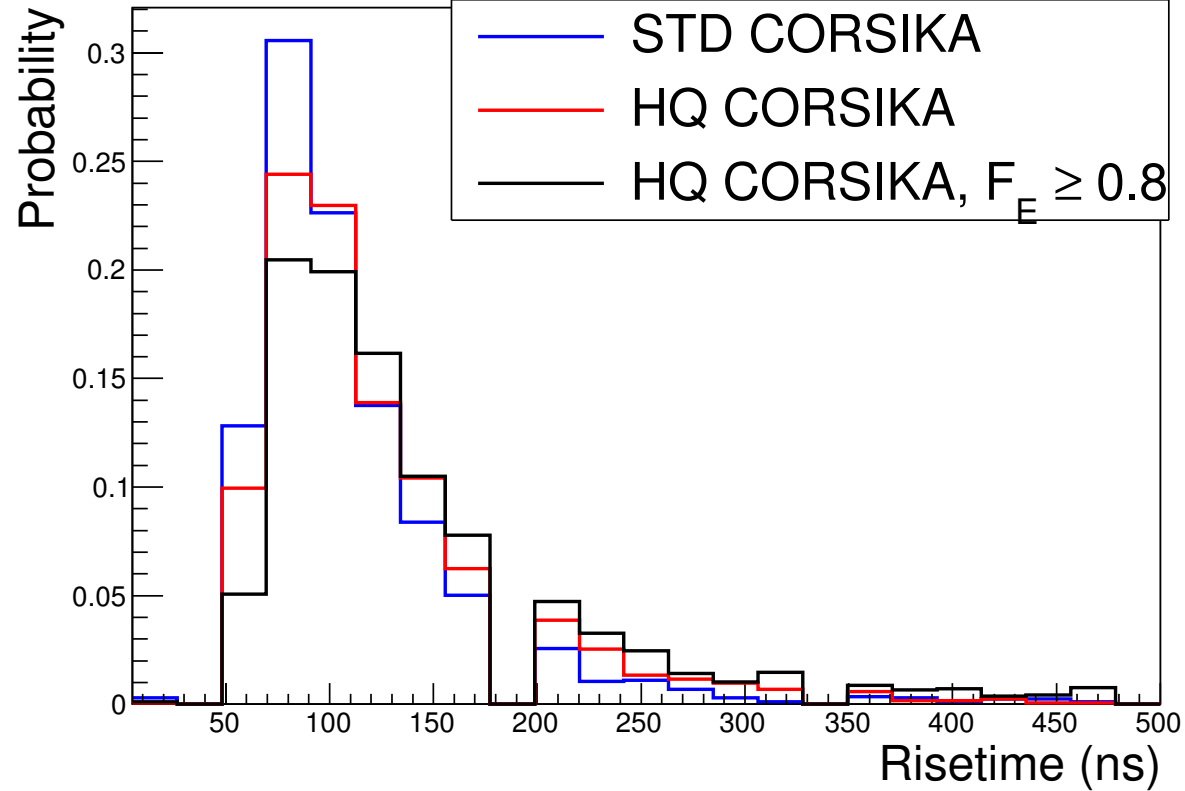
- Risetime - Tempo de subida do sinal dos tanques Cherenkov.
- Usado como parâmetro para separar componentes muônicas e eletromagnéticas.



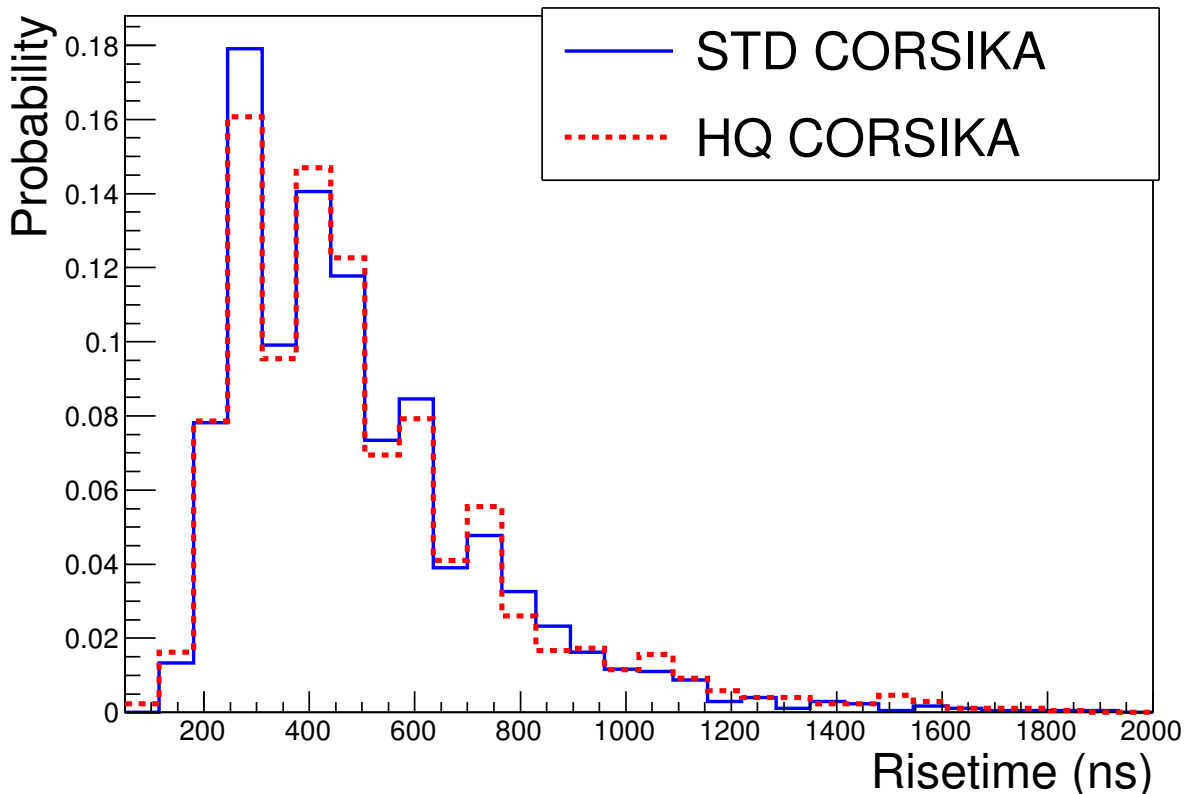
- As diferentes componentes (eletromag. e muônica) chegam em tempos diferentes aos tanques.
- $t_{10-50}$  - Tempo em que a integral do sinal alcance 10% e 50% do sinal.

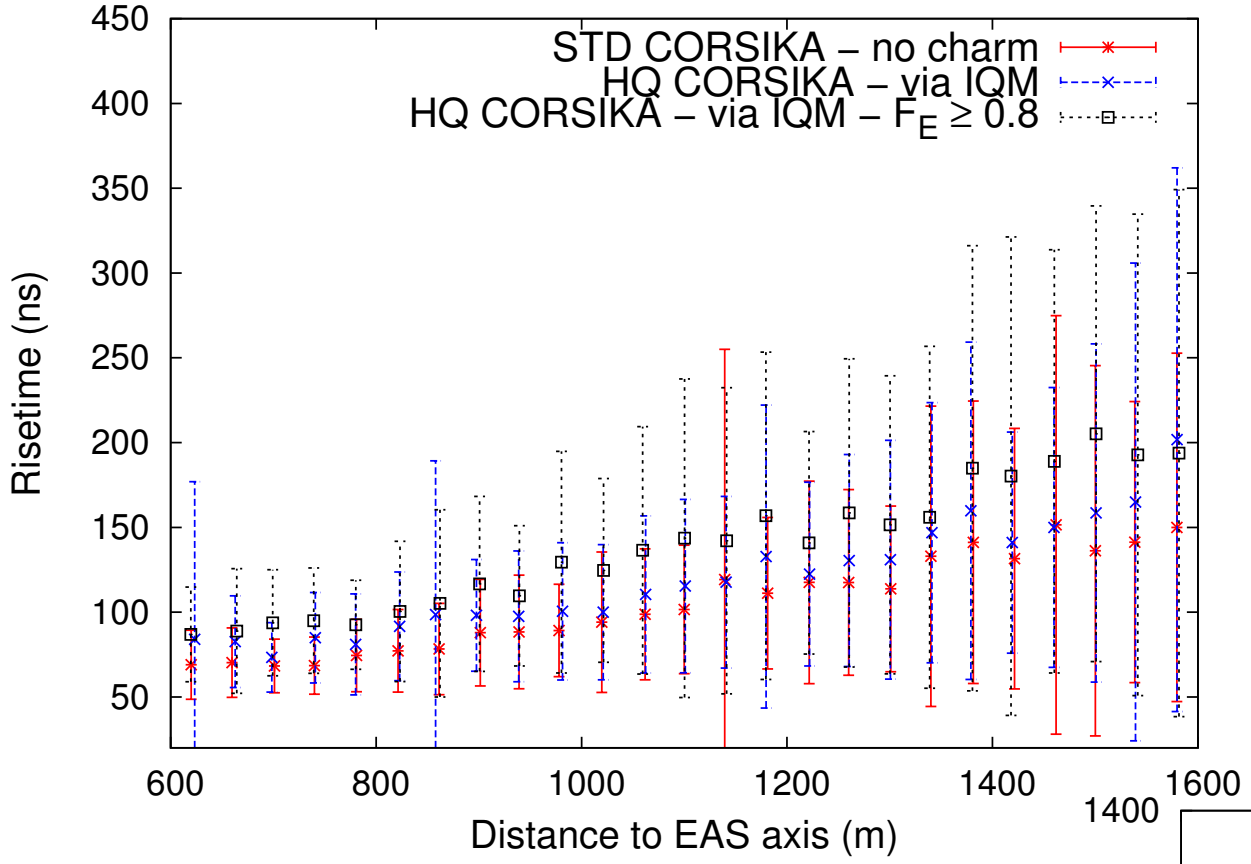


### A. Resultados

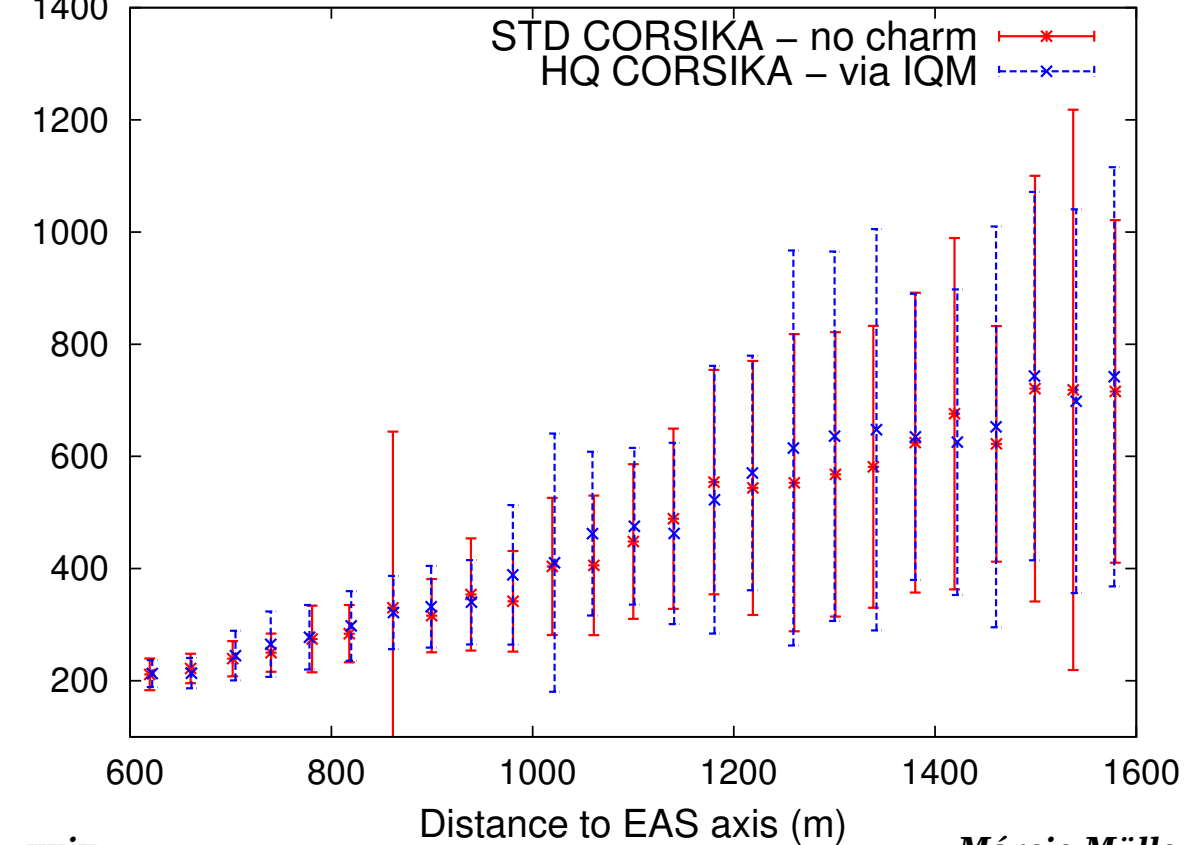


Distribuição de  
risetime. 2000  
estações “triggeradas”.  
CORSIKA IQM ✗  
CORSIKA STD.  
60° e verticais.

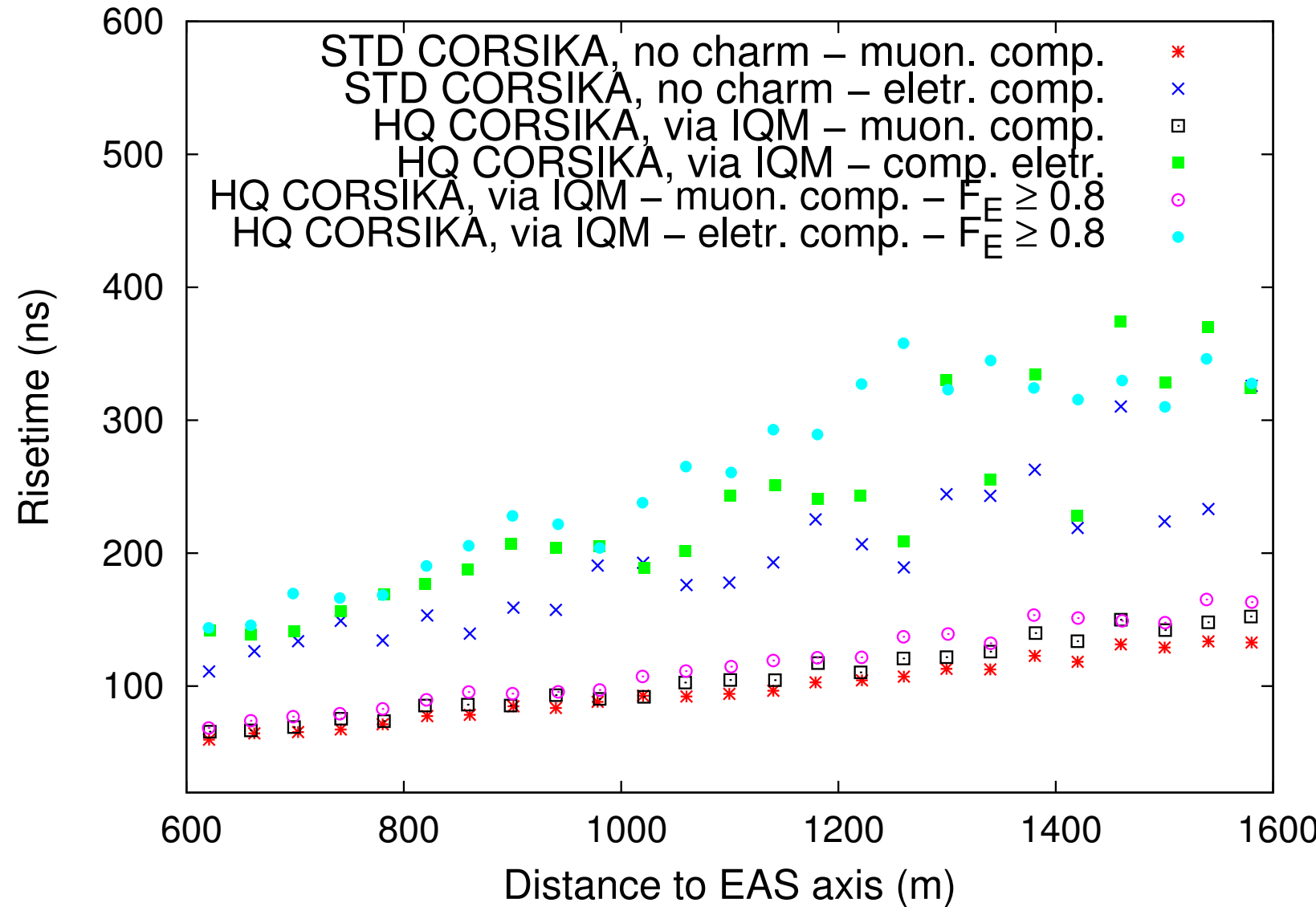




Risetime em função ao  
eixo do CAE. 2000  
estações “triggeradas”.  
CORSIKA IQM  $\times$   
CORSIKA STD.  
 $60^\circ$  e verticais.



- Comparação de risetimes entre as componentes puras.
- Comp. eletromag. e muônica para  $\theta = 60^\circ$  - CORSIKA padrão, CORSIKA via IQM e CORSIKA via IQM ( $F_E \geq 0.8$ ).



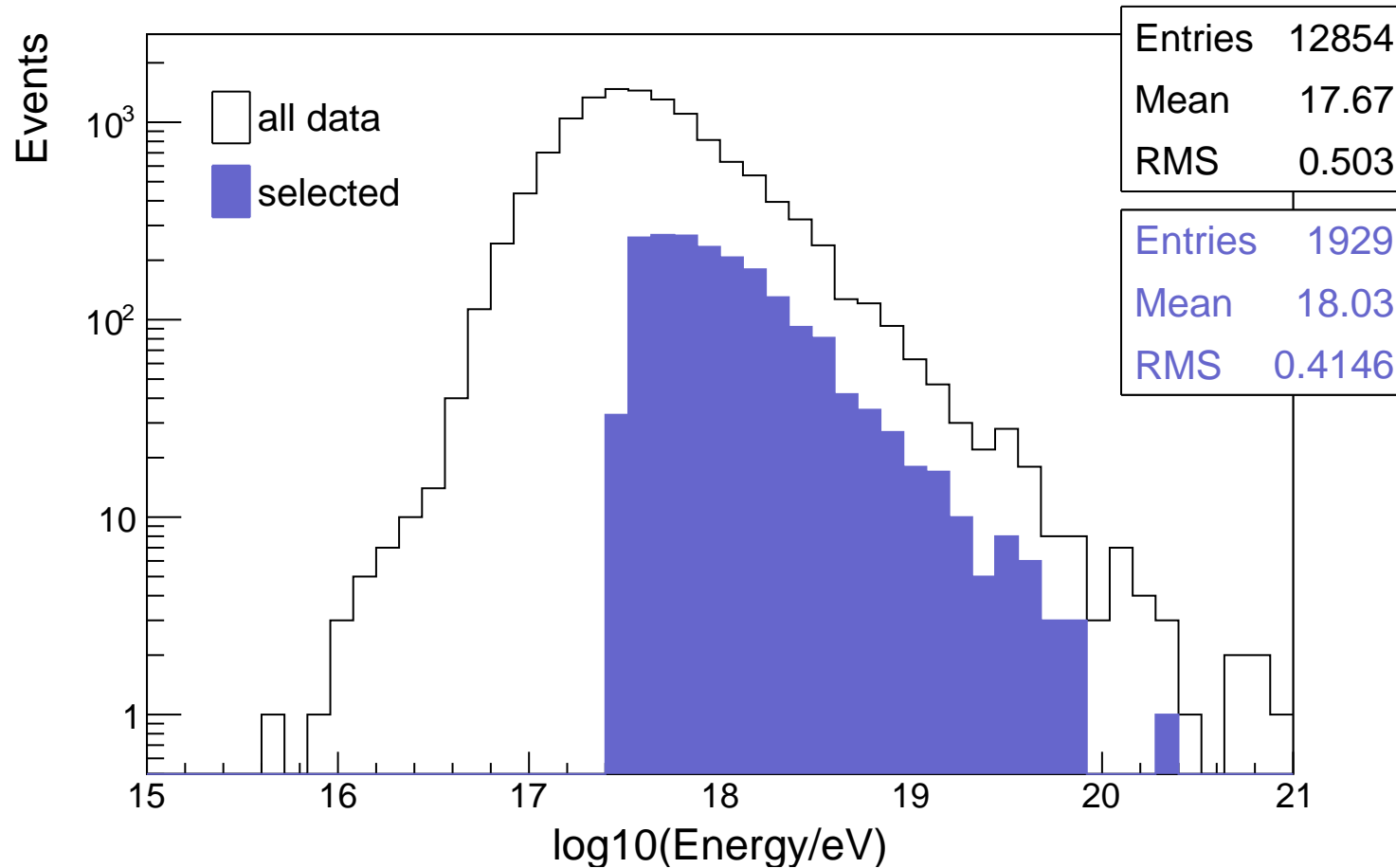
## VI. CONCLUSÕES

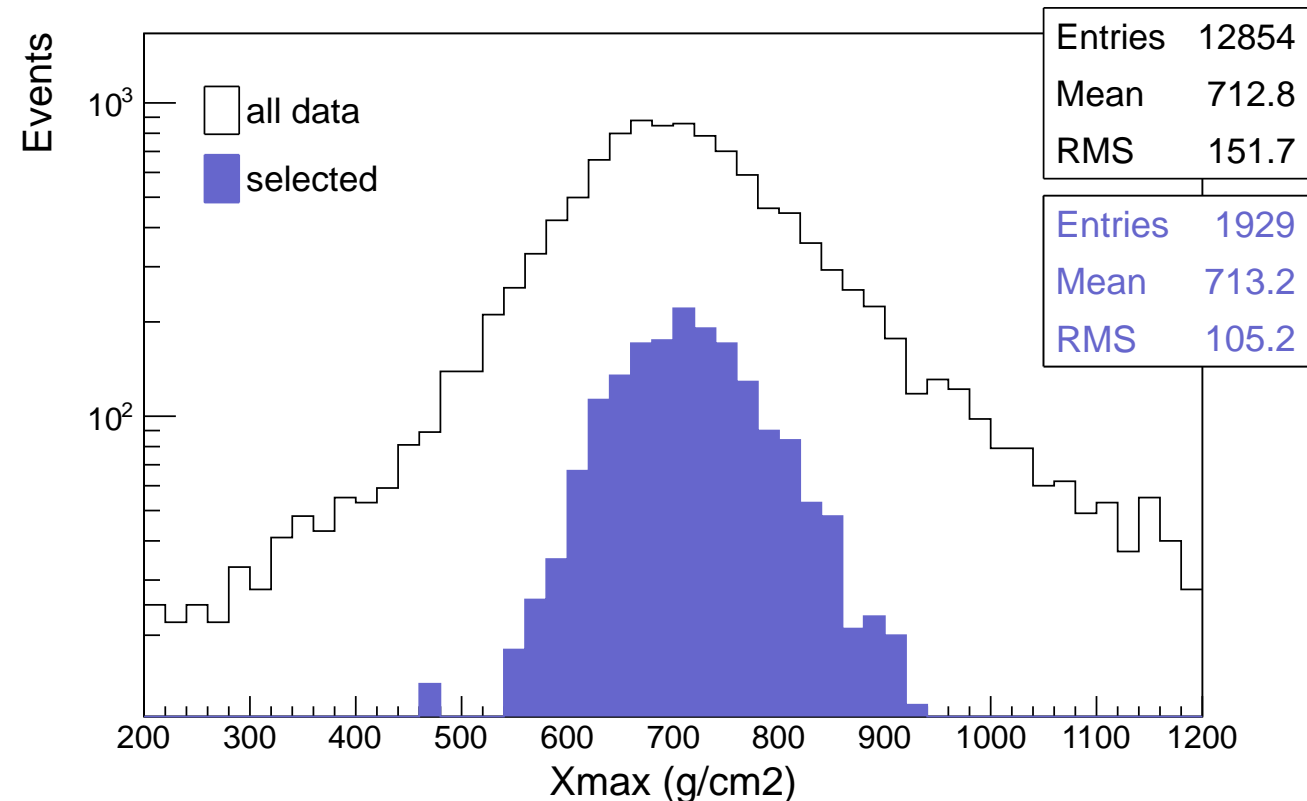
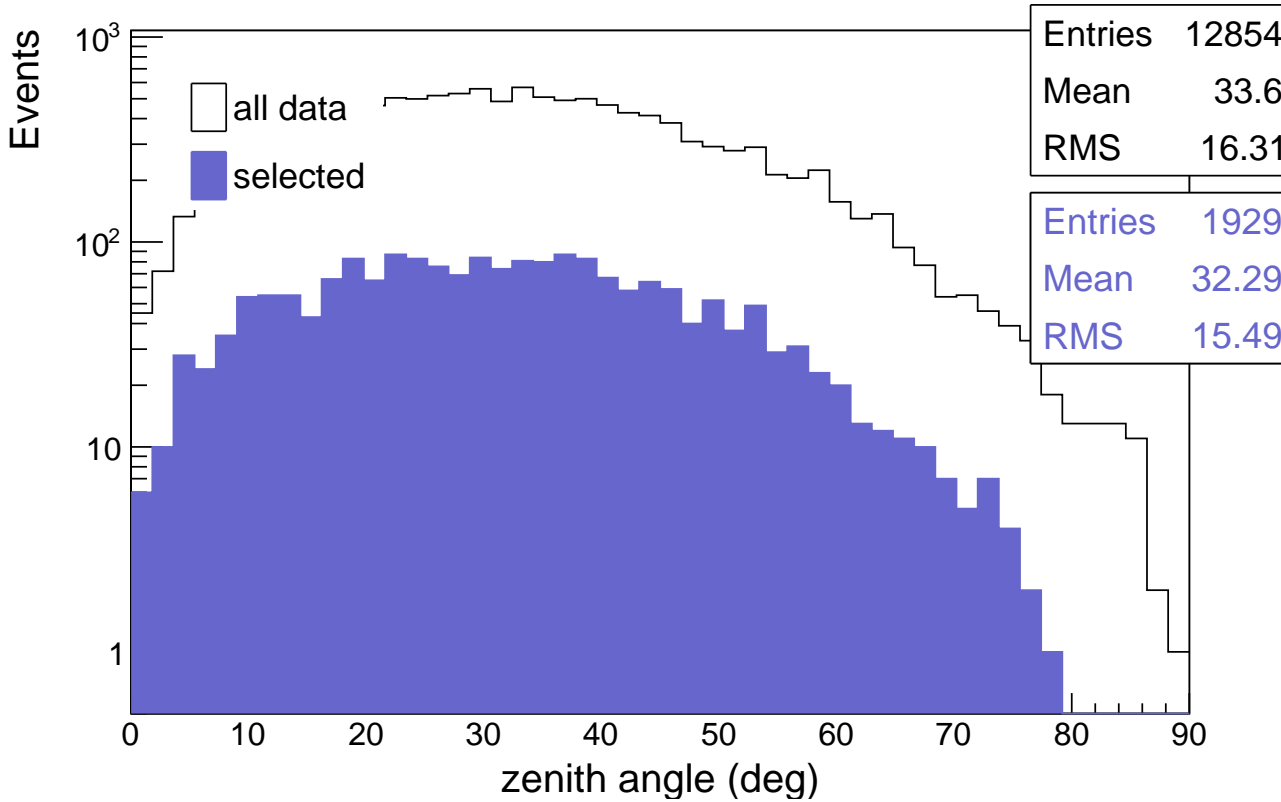
- Temos um excesso na densidade de múons de  $20$  a  $40\%$  para chuveiros simulados pelo CORSIKA Heavy via IQM.
- A distribuição de energia dos charms produzidos via IQM [4] alcançam energias que podem chegar a  $3 \times 10^{19} \text{ eV}$  ( $F_E \approx 1$ ).
- Os charms mais energéticos geram mais múons ao nível do detector.
- Chuveiros inclinados tem mais múons vindo do decaimento de charm e alcançam o chão mais espalhados.
- Para chuveiros verticais o excesso de múons está mais concentrado no centro do chuveiro,  $< 300 \text{ m}$ .
- Observando o formato temporal do sinal, temos uma diferença relevante para chuveiros verticais.
- Para chuveiros verticais temos energias menores na reconstrução dos chuveiros -  $10\%$ .

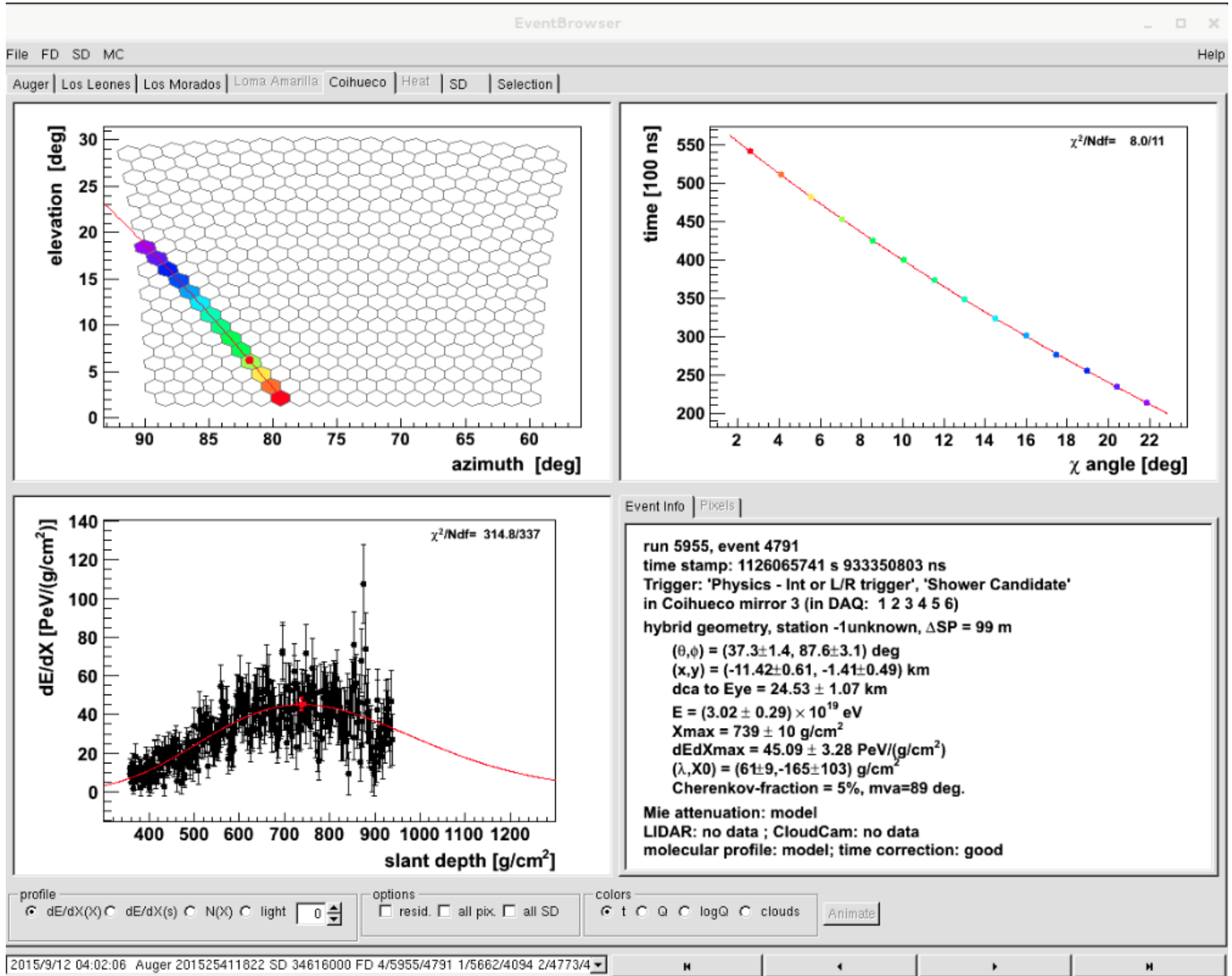
- Para chuveiros com  $\theta = 60^\circ$ , temos energias maiores na reconstrução dos chuveiros - 10%.
- Para  $\theta = 60^\circ$ ,  $F_E \geq 0.8$ , temos maiores energias reconstruídas - 12%
- Neste caso a razão do sinal ( $S_\mu(\text{heavyIQM})/S_\mu(\text{STD})$ ) alcança 15%.
- Nenhuma mudança relevante é observada na frente do chuveiro nos tanques Cherenkov. A menos para alguns chuveiros particulares com partículas pesadas com altas frações de energia do primário.
- Na distribuição de risetime para as componentes puras é observado um leve aumento para os risetimes comparando entre CORSIKA padrão e CORSIKA via IQM.
- Charms altamente energéticos em CAEs podem ser a fonte para explicar eventos anômalos observados no Observatório Pierre Auger.

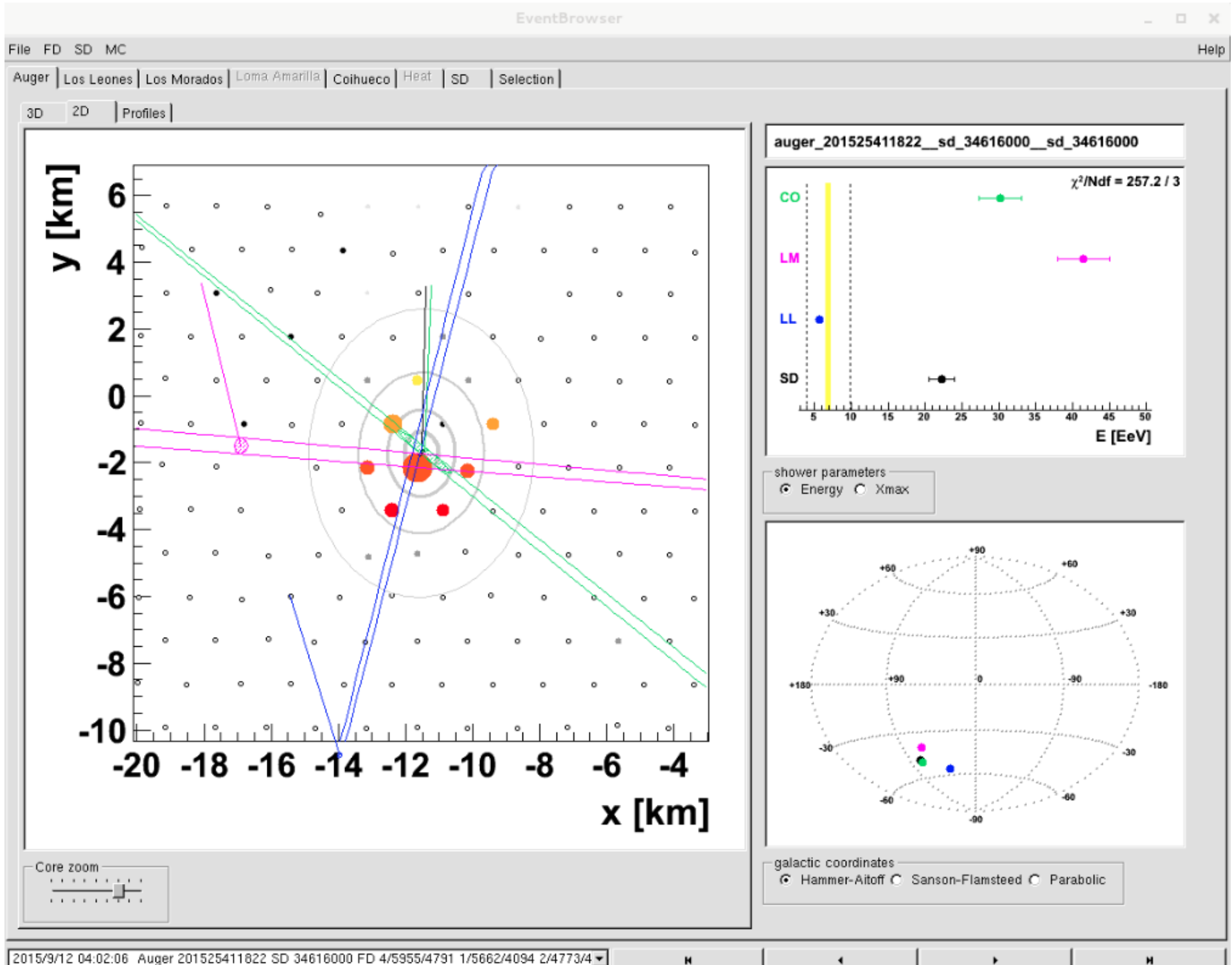
## VII. FD SHIFT

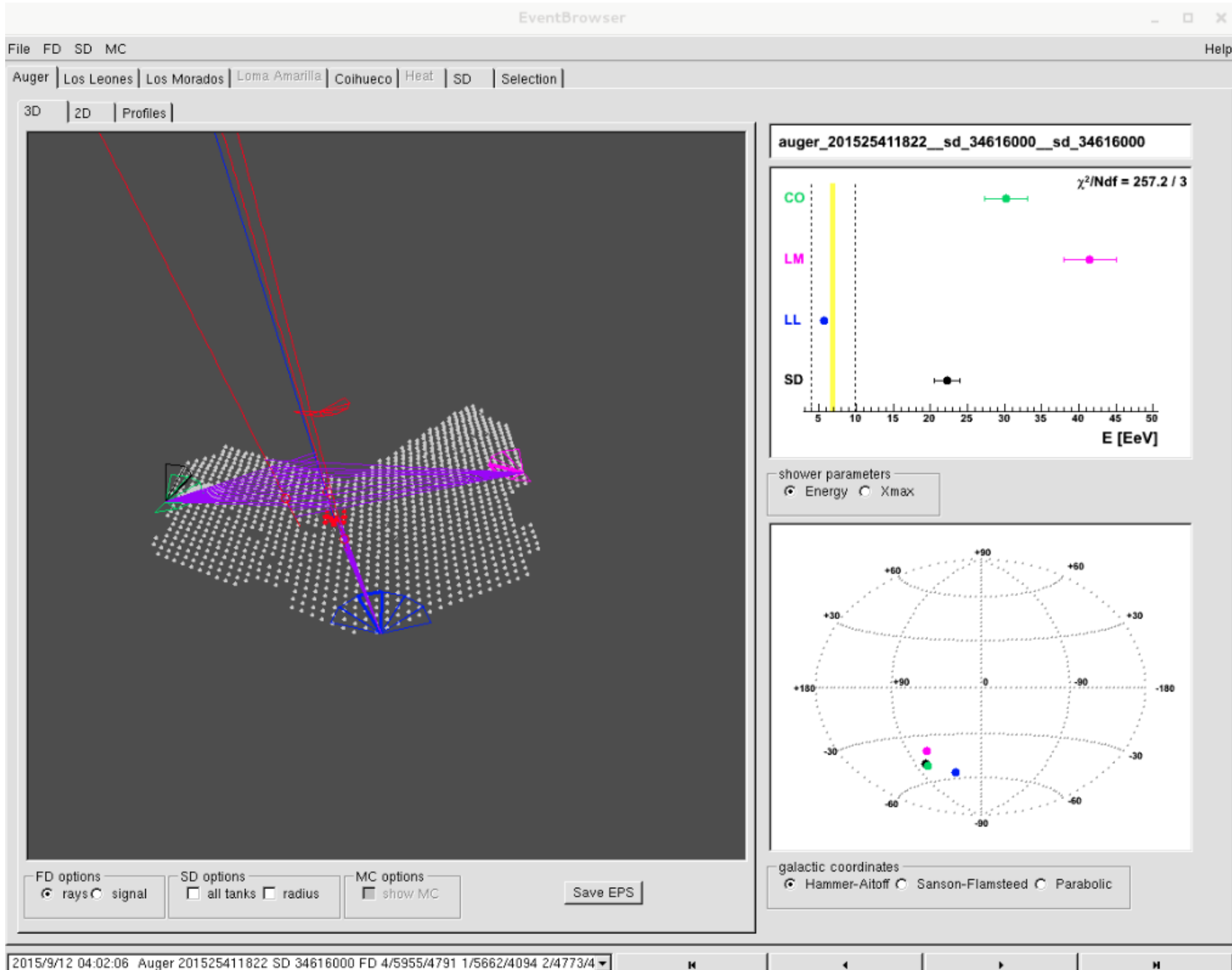
- Tomada de dados entre os dias 3 a 21 de setembro - 18 dias
- Das 20:40 hs às 06:30 hs aproximadamente
- Todo dia posterior a tomada de dados é feita uma reconstrução rápida dos dados observados.











- 
- [1] C. A. García, et al, *Production and propagation of heavy hadrons in air-shower simulators*, Astroparticle Physics, 46, 29-33, 2013.
  - [2] Heck, D., Knapp, J., Capdevielle, J. N., Schatz, G., and Thouw, T., Report FZKA 6019 (1998), Forschungszentrum Karlsruhe, Germany.
  - [3] A. Bueno and A. Gascón, *Corsika implementation of heavy quark production and propagation in Extensive Air Showers*, Computer Physics Communications, 185, 638-650, 2014.
  - [4] M. Muller and V. P. Gonçalves, *Longitudinal profiles of Extensive Air Showers with inclusion of charm and bottom particles*, in submission.
  - [5] M. Muller and V. P. Gonçalves, *Prompt muons and neutrinos in simulations of Extensive Air Showers*, in submission.
  - [6] A. Gascón and A. Bueno, *Charm production and identification in EAS*, Gap Note (Internal notes of Pierre Auger Collaboration), 2011-019, 2011.

